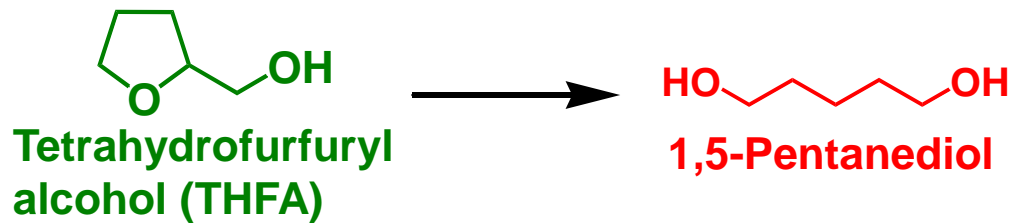


グリーンサステイナブルケミストリー研究会(第4回) 2015/12/8
触媒研究の近未来 —作用中の触媒に迫る—
SPring-8利用推進協議会 研究開発委員会

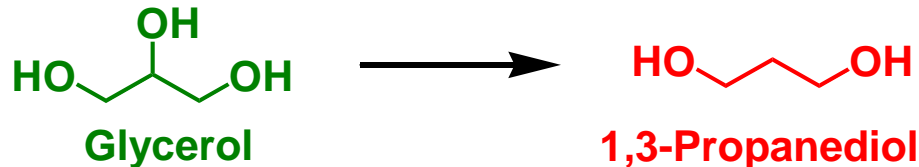
金属一酸化物界面を活性点とするC-O結合水素化分解反応
東北大院工 富重圭一

1. C-O結合水素化分解反応とバイオマス化学品製造
2. Rh-ReO_x及びRh-MoO_x触媒を用いたテトラヒドロフルフリルアルコールの水素化分解



3. Ir-ReO_x触媒を用いたグリセリンの水素化分解

4. Ir-ReO_x構造解析



資源とターゲット化学品の組成

バイオマス
(酸素含有率高い)

還元(水素)

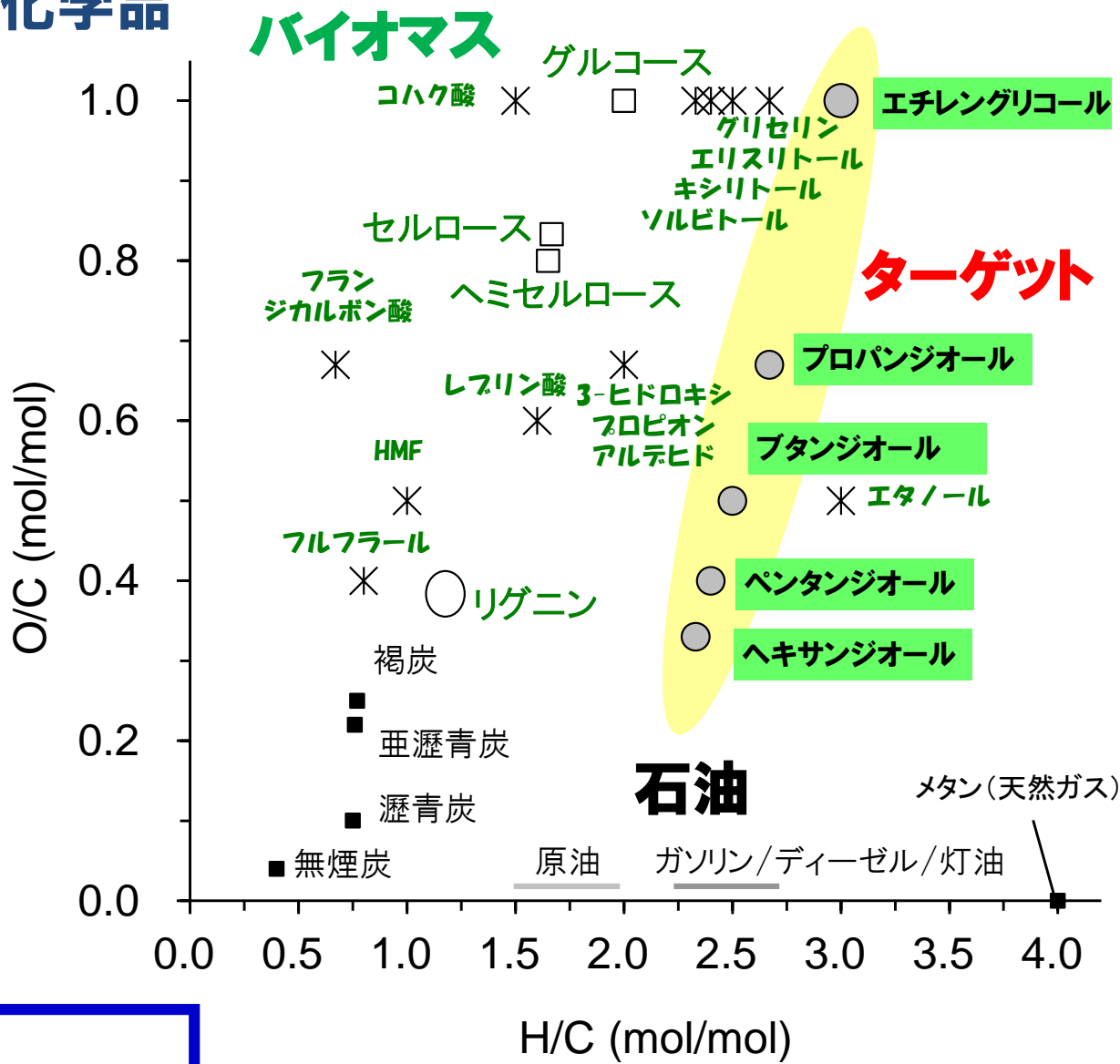
ターゲット
 $\text{HO}(\text{CH}_2)_n\text{OH}$

酸化
水和

石油
(酸素を含まない)

新しい触媒反応と
それを実現する触媒
のニーズ

C-O結合水素化分解が重要

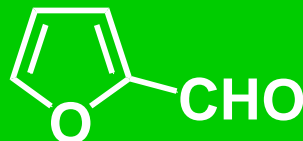


本触媒は化学品製造の
原料転換のための重要な技術

バイオマスの発酵、脱水などにより得られる基幹原料



Ethanol



Furfural



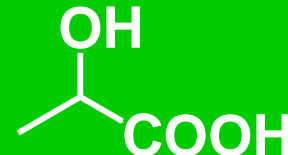
Hydroxymethylfurfural



Furan-2,5-dicarboxylic
acid



Glycerol



Lactic acid



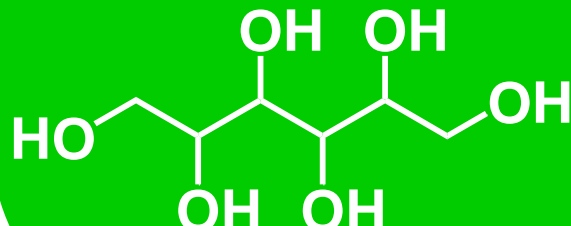
Succinic acid



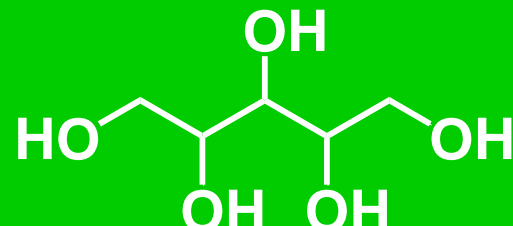
3-Hydroxypropionaldehyde



Levulinic acid



Sorbitol



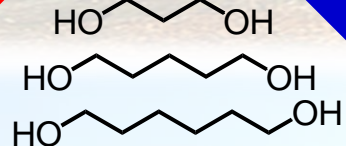
Xylitol

G.R. Petersen et al.,
Green Chem., 2010

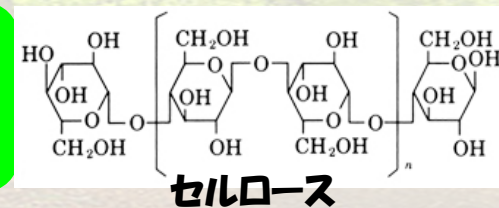
バイオマス化学品合成の化学 鍵となる3つの視点



繊維、樹脂原料
(ナイロン)
(ポリエステル)
(ポリウレタン)



バイオマス
=再生可能資源
(含酸素化合物)



1. バイオマス化学品合成は還元反応

石油由来炭化水素は空気で酸化。バイオマスは、水素で還元。
空気は安価。水素は高価。→リニューアブルな水素製造は重要。

還元反応
水素
(触媒)

2. バイオマス化学品合成は液相反応

石油由来炭化水素は低極性・低沸点。→気相反応が可能(気・固相)
バイオマス由来化合物は高極性・高沸点。→液相反応。溶媒に配慮が必要。

極性溶媒
極性反応場

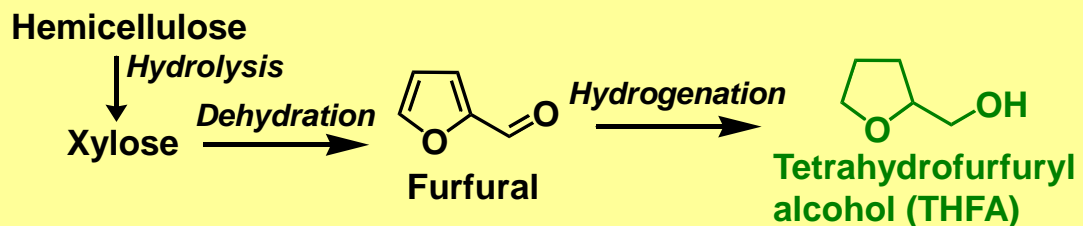
3. バイオマス化学品合成は官能基認識が不可欠

石油由来炭化水素は官能基付加反応。バイオマス由来化合物は、官能基を減らす反応。どの官能基を取り除くかの認識が必要。

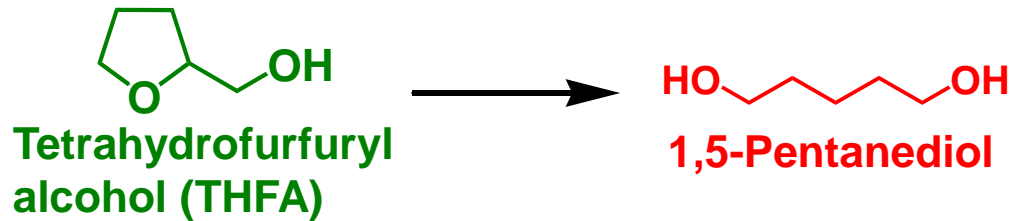
官能基認識
(触媒)

グリーンサステイナブルケミストリー研究会(第4回) 2015/12/8
 触媒研究の近未来 —作用中の触媒に迫る—
 SPring-8利用推進協議会 研究開発委員会

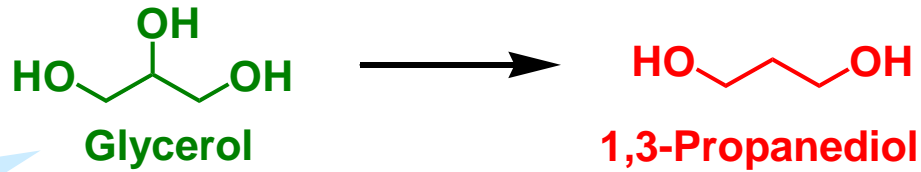
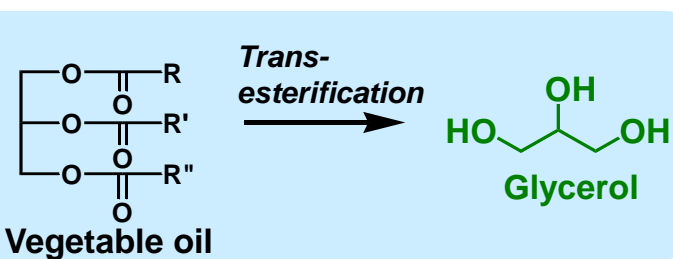
金属一酸化物界面を活用する
東大



1. C-O結合水素化分解反応と、マス化学品製造
2. Rh-ReO_x及びRh-MoO_x触媒を用いたテトラヒドロフルフリルアルコールの水素化分解



3. Ir-ReO_x触媒を用いたグリセリンの水素化分解



新しい炭素—酸素結合水素化分解反応用 触媒の構造 ($\text{Ir}-\text{ReO}_x$, $\text{Rh}-\text{ReO}_x$, $\text{Rh}-\text{MoO}_x$)

XRD, TEM,
昇温水素還元, XPS,
CO吸着量測定,
CO吸着FTIR,
XAES, XANES

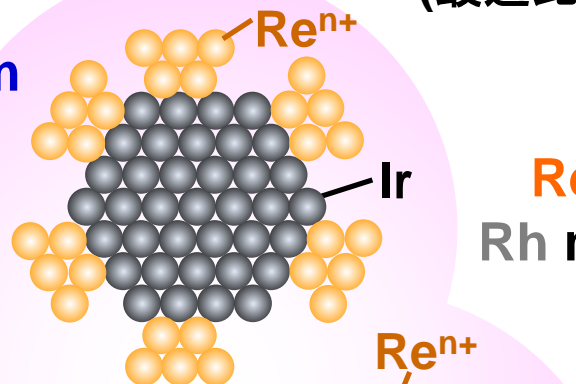
ReO_x 3-D clusters on Ir metal particles (2 nm)

(J. Phys. Chem. C, 116, 23503 (2012))

Re-O: 1.6, 0.204 nm

Re-Ir (or -Re) : 5.5, 0.265 nm

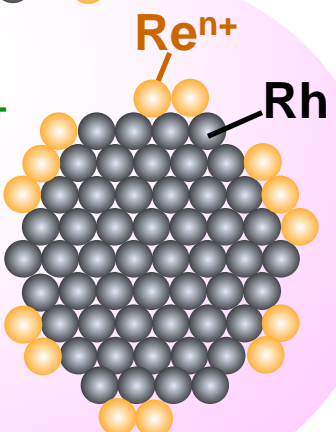
(最適比 $\text{Re}/\text{Ir}=1$)



ReO_x 2-D clusters on Rh metal particles (3 nm)

(J. Phys. Chem. C,
116, 3079 (2012))

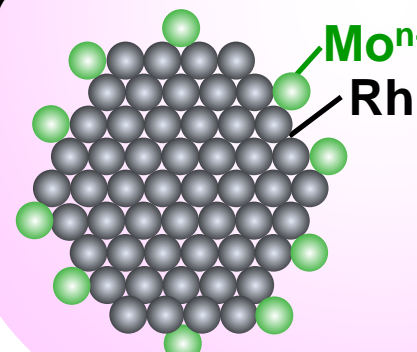
(最適比 $\text{Re}/\text{Rh}=0.5$)



Isolated MoO_x on Rh metal particles (3 nm)

(Appl. Catal. B, 111-112, 27
(2012))

(最適比 $\text{Mo}/\text{Rh}=0.13$)



Mo-O: 1.1, 0.208 nm

Mo-Rh (or -Mo):
3.0, 0.264 nm

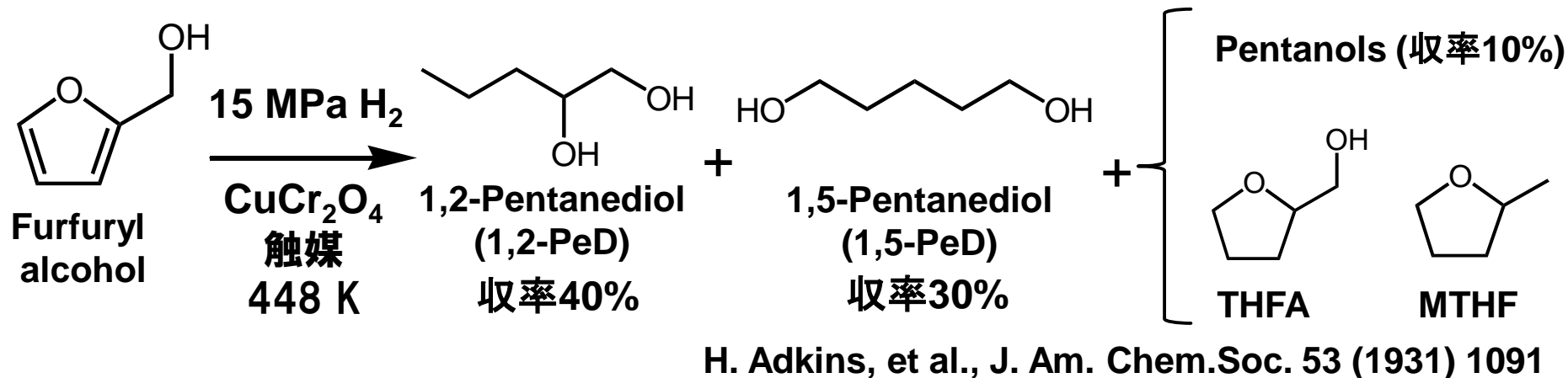
金属酸化物修飾(Re, Mo)-
金属微粒子(Ir, Rh)触媒

吸收原子—
散乱原子

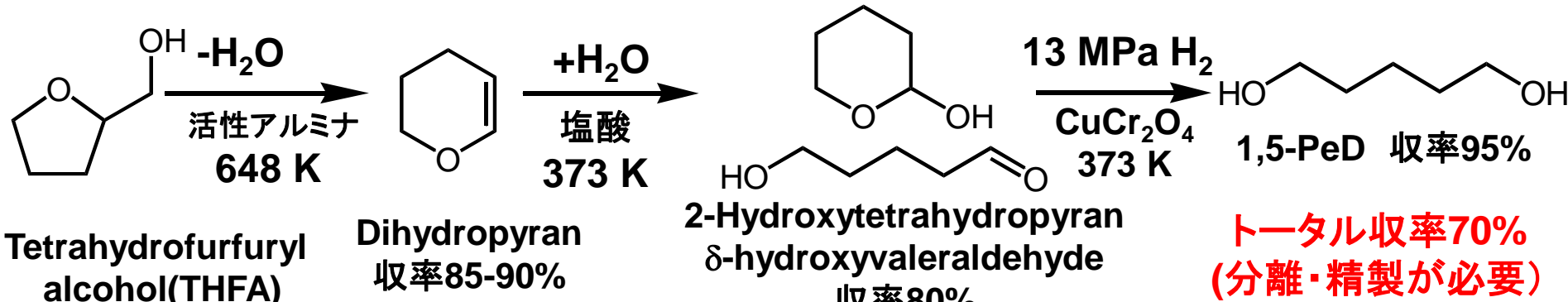
配位数,
結合距離

1, 5-ペンタンジオール合成に関する先行研究

1) 従来型水素化分解触媒 CuCr_2O_4 の使用：非選択的



2) 3段階反応（それぞれの段階では純粋な試薬を使用）

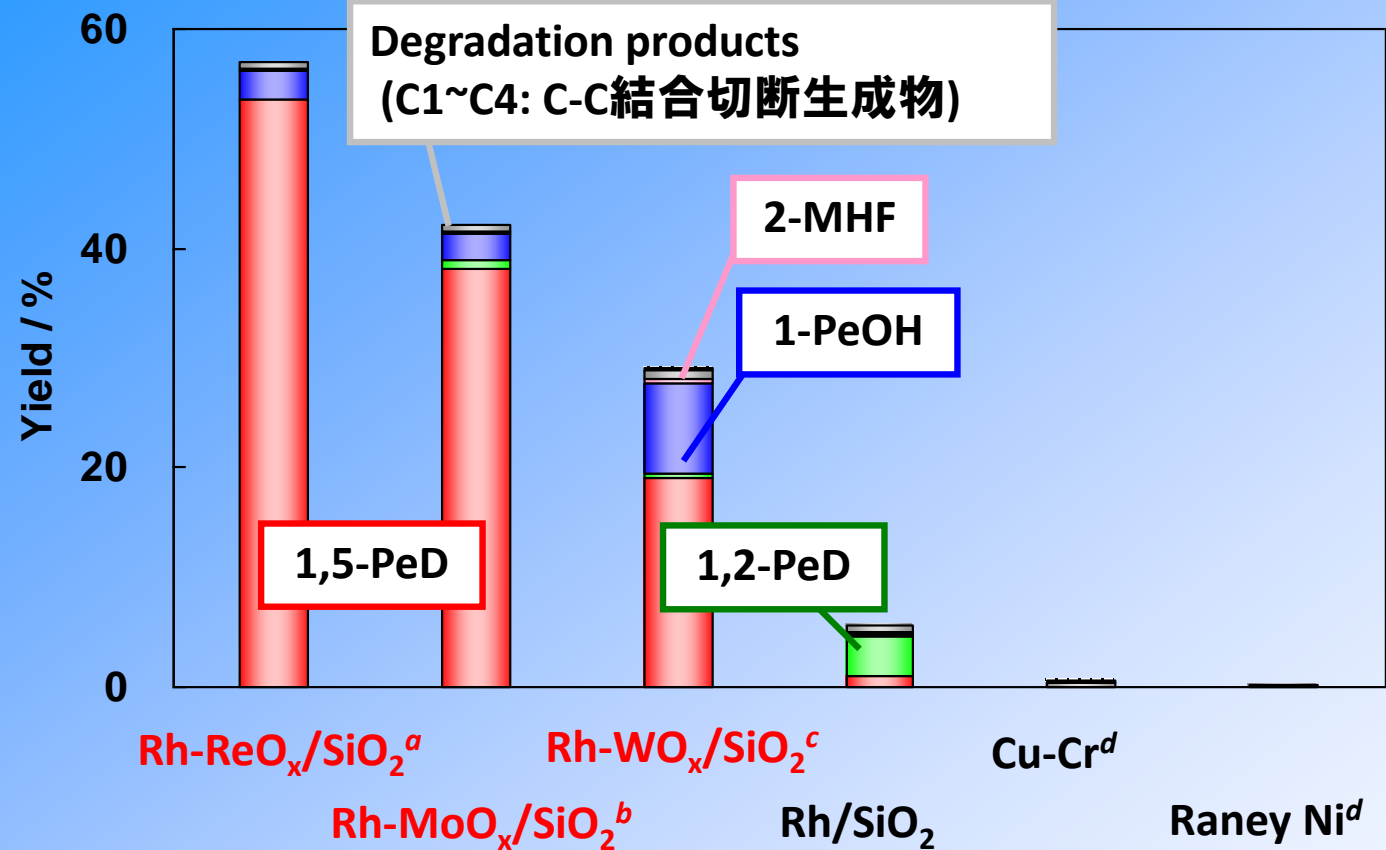


L. E. Schniepp, et al., J. Am. Chem. Soc. 68 (1948) 1646

“直接水素化分解による1,5-ペンタンジオール合成が望まれる
(おそらく均一系触媒が使われるだろう)。”

M. Schlaf, Dalton Trans. 4645 (2006)

テトラヒドロフルフリルアルコール(THFA)の水素化分解反応

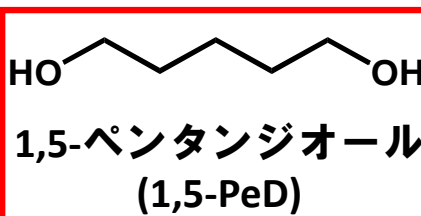
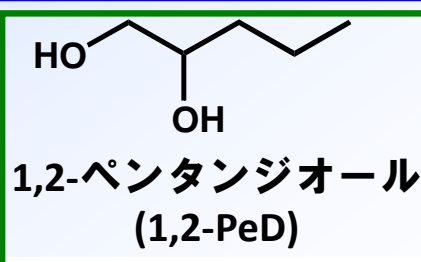
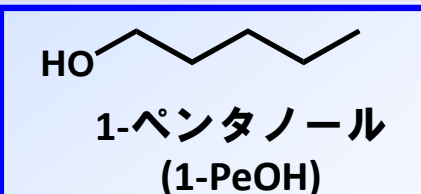


Conditions : $P = 8.0 \text{ MPa}$, $T = 393 \text{ K}$, $t = 4 \text{ h}$, $m_{\text{cat}} = 50 \text{ mg}$,

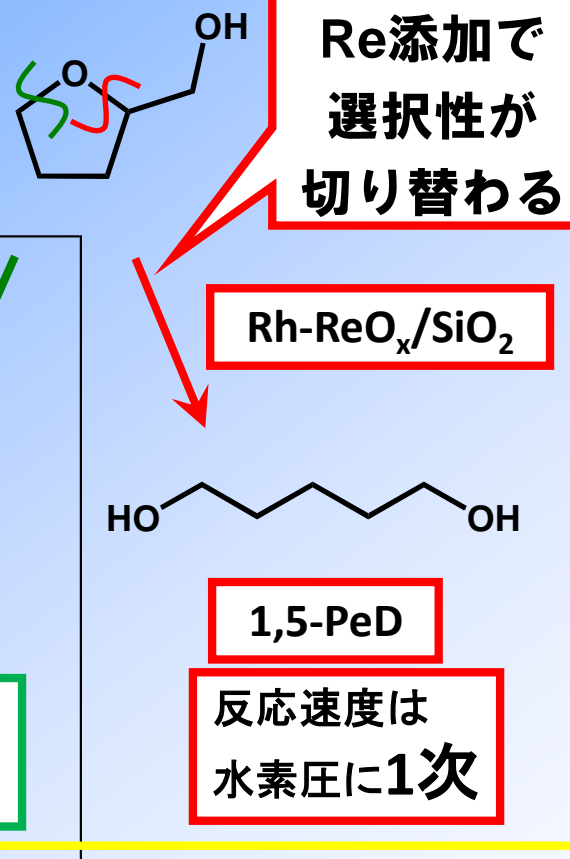
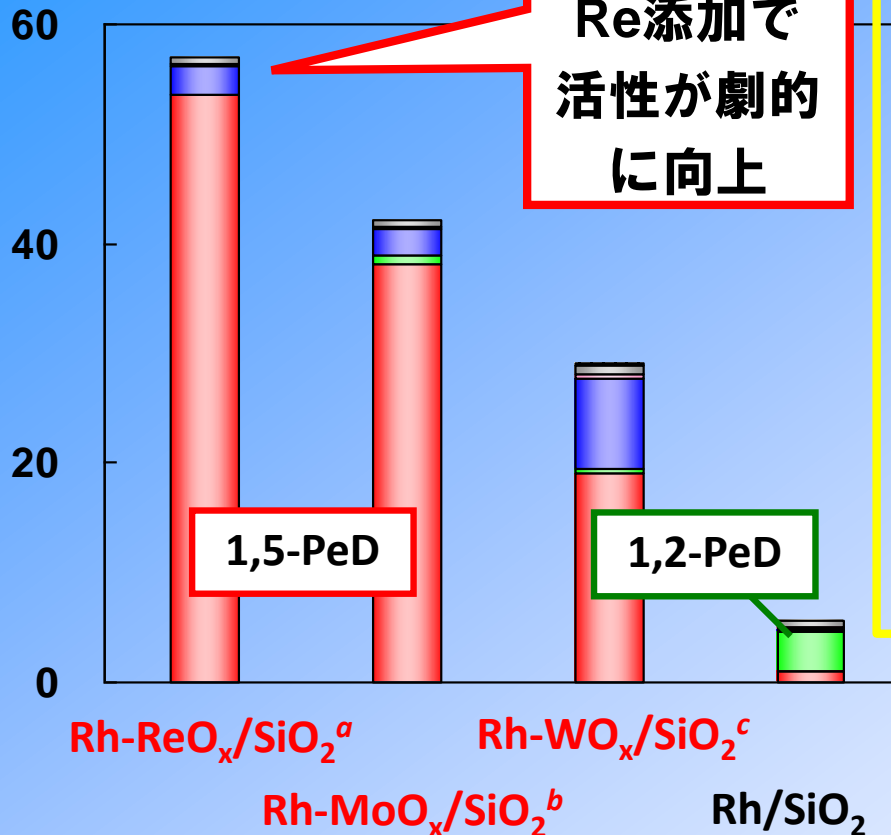
Reactant = 5 wt%THFA aq. 20 ml,

Rh: 4 wt%, ^aRe/Rh=0.5, ^bMo/Rh=0.125,

^cW/Rh=0.125, ^dT = 453 K, $m_{\text{cat}} = 500 \text{ mg}$.



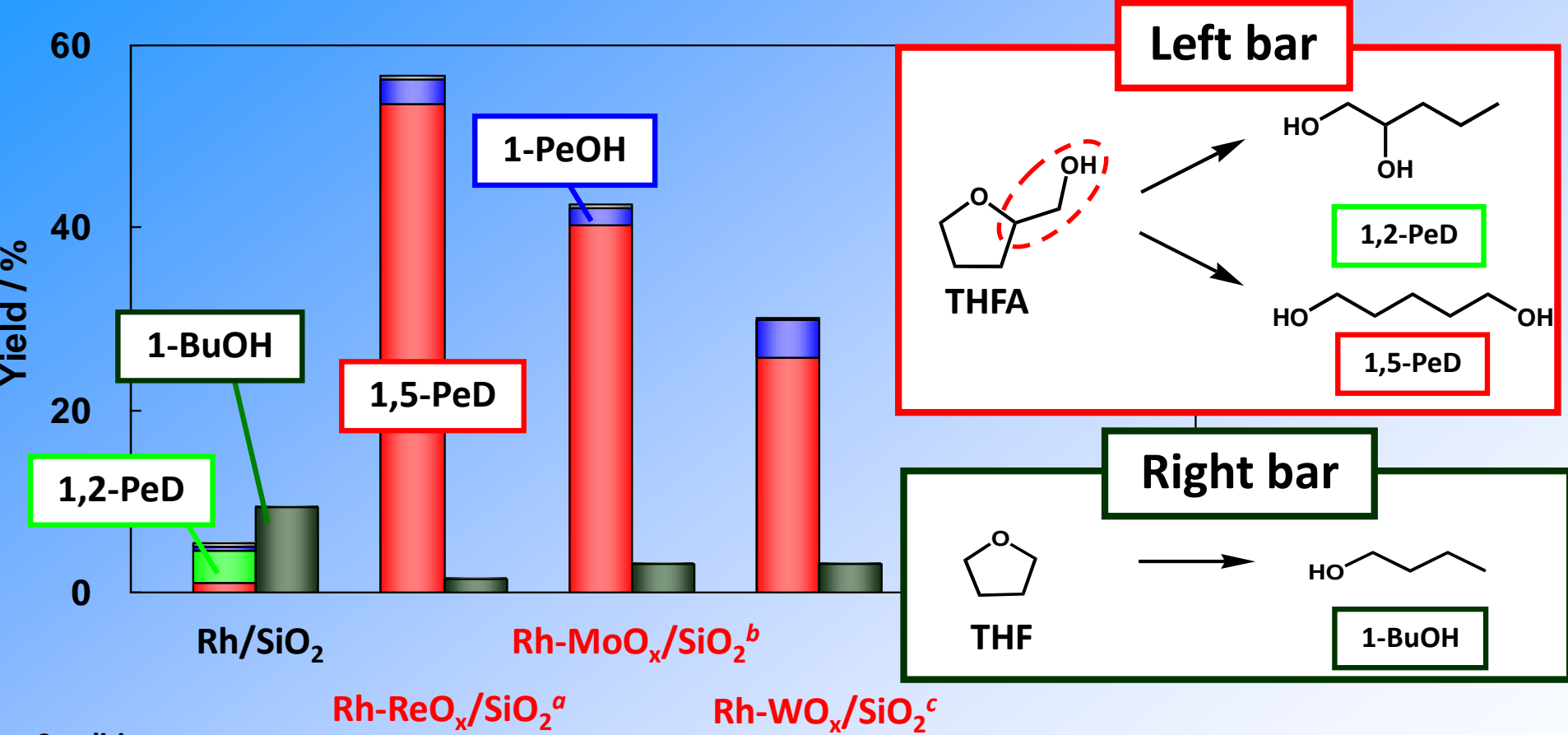
THFAの水素化分解反応



活性: $\text{Rh-MO}_x/\text{SiO}_2$ (M = Re, Mo, W) > Rh/SiO_2 >> 従来触媒

高選択性に1,5-PeD合成

THFAとテトラヒドロフラン(THF)の水素化分解反応比較



Conditions :

$P = 8.0 \text{ MPa}$, $T = 393 \text{ K}$, $t = 4 \text{ h}$, $m_{\text{cat}} = 50 \text{ mg}$,

Reactant = 5 wt% THFA aq. 20 ml, 5 wt% THF aq. 20 ml

Rh: 4 wt%, ^aRe/Rh=0.5, ^bMo/Rh=0.125, ^cW/Rh=0.125

Chem. Commun. 2035, 61 (2009)
J. Catal. 267, 89 (2009)

THFA活性 : Rh/SiO₂ << Rh-MO_x/SiO₂

THF活性 : Rh-MO_x/SiO₂ < Rh/SiO₂

} 活性序列
逆転

高選択的に
1,5-PeD合成
の力ギ

-CH₂OH基
の存在で反
応性向上

— 使用触媒・実験 —

使用触媒 (逐次含浸法にて調製)

- Rh/SiO₂ … Rh: 4 wt%
- Rh-ReO_x/SiO₂ … Rh: 4 wt%, Re/Rh = 0.13, 0.25, 0.5, 1
- Rh-MoO_x/SiO₂ … Rh: 4 wt%, Mo/Rh = 0.03, 0.06, 0.13, 0.25, 0.5

(*) 担体: SiO₂:富士シリシア製G-6 (BET表面積535 m²·g⁻¹)

〔 Rh: RhCl₃·3H₂O, Re: NH₄ReO₄, Mo: (NH₄)₆Mo₇O₂₄·4H₂O 〕

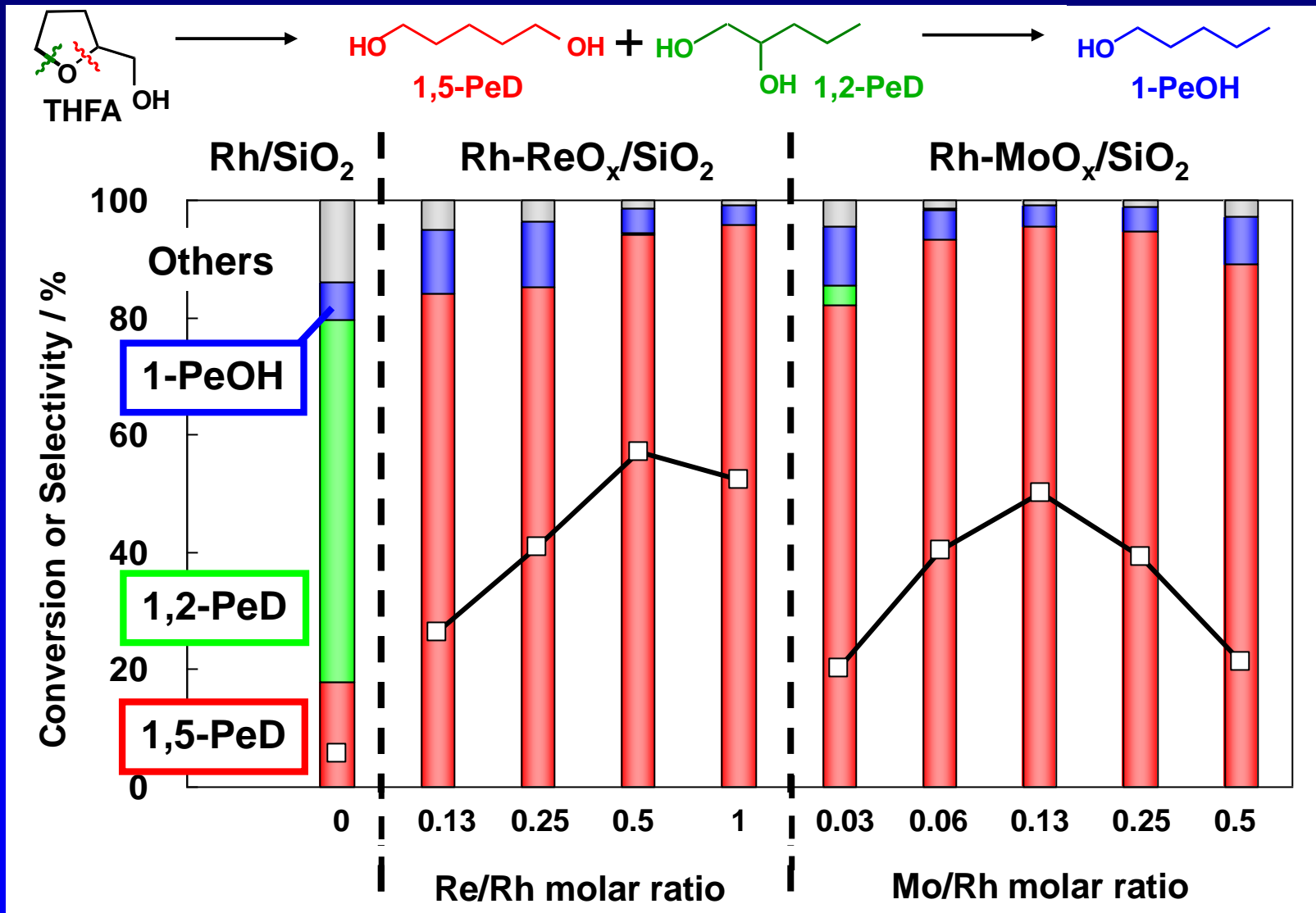
活性試験 (Re, Mo添加量依存実験)

○回分式反応装置 (オートクレーブ)

キャラクタリゼーション

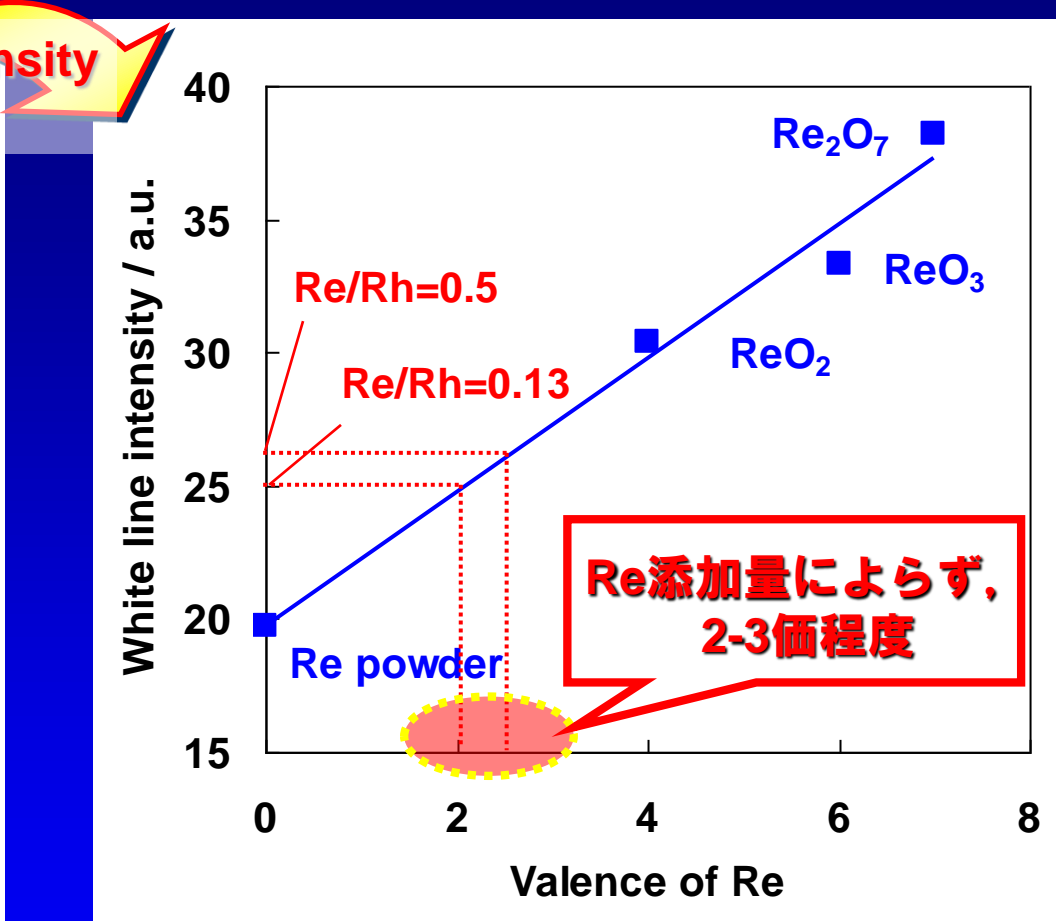
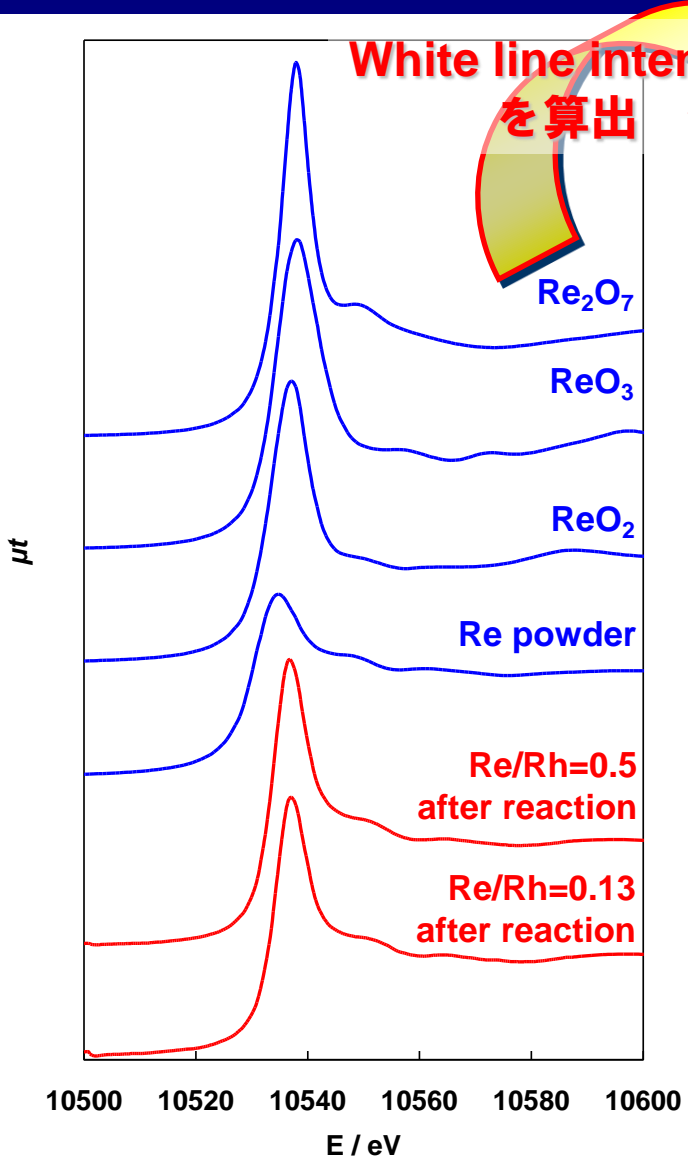
- CO吸着 … 表面Rh金属数
- XRD, TEM … 金属微粒子の平均粒子径
- Re L₃-edge XANES … Reの価数
- Re L₃-edge, Mo K-edge EXAFS … Re, Mo周りの触媒構造

Re, Mo添加量依存



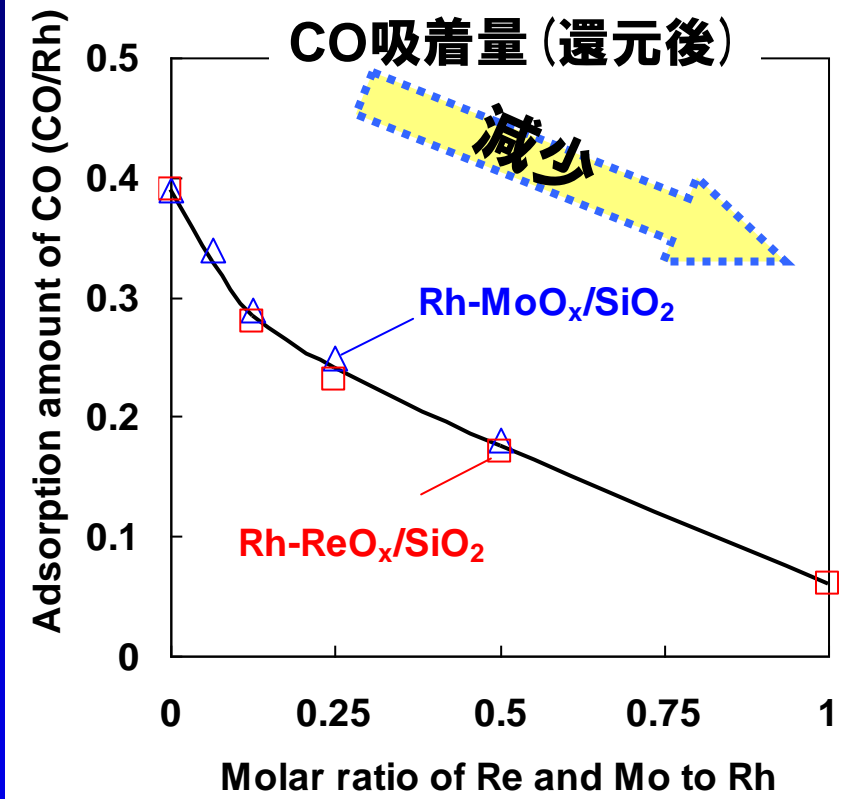
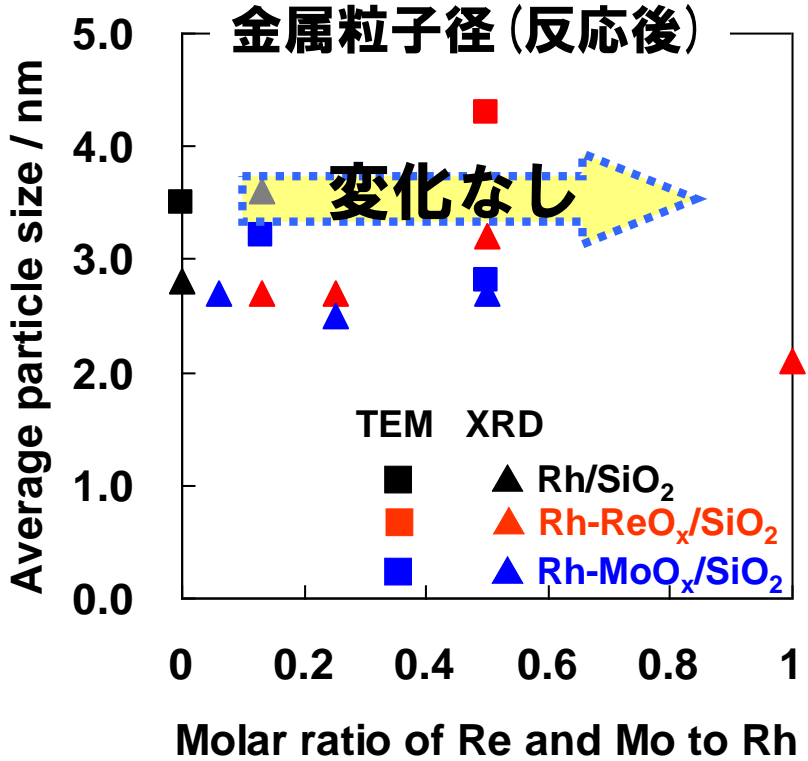
Conditions : $P = 8.0 \text{ MPa}$, $T = 393 \text{ K}$, $m_{\text{cat}} = 50 \text{ mg}$, $t = 4 \text{ h}$,
 Rh = 4 wt%, Reactant = 5 wt% THFA aqueous solution 20 ml.

Re L_3 -edge XANES



反応中のReは酸化物状態で存在
⇒ TPRの結果と合致

金属粒子径・CO吸着量測定



金属粒子径変化なし

Re, Mo添加→CO吸着量減少, 傾向類似
Re, Moは酸化物→CO吸着しない

ReまたはMo酸化物がRh金属微粒子表面を部分的に覆う

Characterization of Rh-MO_x/SiO₂ (M: Re, Mo)

Appl. Catal. B, in press

Catalyst	Mo/Rh or Re/Rh	Particle size XRD (nm)	Dispersion ^a XRD [Rh _s /Rh]	CO adsorption CO/Rh	(Rh _s /Rh) -(CO/Rh)
Rh/SiO ₂	-	2.8	0.39	0.39	0.0
Rh-MoO _x /SiO ₂	0.06	2.7	0.41	0.34	0.07
	0.13	2.6	0.42	0.29	0.13
	0.25	2.5	0.44	0.25	0.19
	0.5	2.7	0.41	0.18	0.23
Rh-ReO _x /SiO ₂	0.13	2.7	0.41	0.28	0.13
	0.25	2.7	0.41	0.23	0.18
	0.5	3.2	0.34	0.17	0.17

^a Rh_s/Rh=1.098 nm/particle seize

(Rh_s/Rh)-(CO/Rh): MoO_x and ReO_x でおおわれるRh表面の割合

Mo/Rh, Re/Rh ≤ 0.13: Mo or Re 原子一つが一つのCO吸着量を抑制

Mo/Rh=Re/Rh > 0.13: 一部のMo or Reの原子はCO吸着を抑制しない

Characterization CO adsorption

(M: Re, Mo)

Appl. Catal. B, in press

Rh金属の粒子径及び
分散度はほぼ一定

Catalyst	Mo/Rh or Re/Rh	Particle size XRD (nm)	Surface coverage ^a CO [Rh _s /Rh]	CO adsorption		(Rh _s /Rh) -(CO/Rh)
				CO/Rh	-(CO/Rh)	
Rh/SiO ₂	-	2.8	0.39	0.39	0.0	
Rh-MoO _x /SiO ₂	0.06	2.7	0.41	0.34	0.07	
	0.13	2.6	0.42	0.29	0.13	
	0.25	2.5	0.44	0.25	0.19	
	0.5	2.7	0.41	0.18	0.23	
Rh-ReO _x /SiO ₂	0.13	2.7	0.41	0.28	0.13	
	0.25	2.5	0.44	0.23	0.18	
	0.5	2.7	0.41	0.17	0.17	

^a Rh_s/Rh=1.098 nm/particle size

添加量とともに
CO吸着量は減少

(Rh_s/Rh)-(CO/Rh): MoO_x and ReO_x でおおわれるRh表面の割合

Mo/Rh, Re/Rh ≤ 0.13: Mo or Re 原子一つが一つのCO吸着量を抑制

Mo/Rh=Re/Rh > 0.13: 一部のMo or Reの原子はCO吸着を抑制しない

Characterization CO adsorption

(M: Re, Mo)

Appl. Catal. B, in press

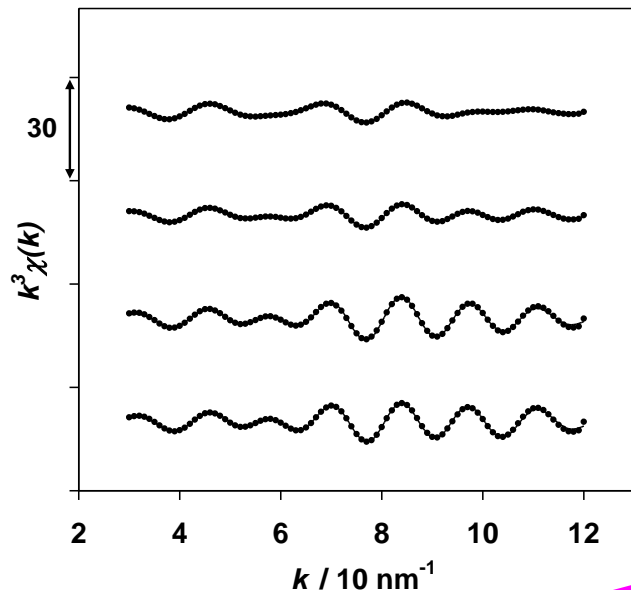
Rh金属の粒子径及び
分散度はほぼ一定

Catalyst	Mo/Rh or Re/Rh	Particle size XRD (nm)	Surface coverage [Rh _s /Rh]	CO adsorption		(Rh _s /Rh) -(CO/Rh)
				CO/Rh	CO/(CO/Rh)	
Rh/SiO ₂	-	2.8	0.39	0.39	0.0	
Rh-MoO _x /SiO ₂	0.06	2.7	0.41	0.34	0.07 0.13 0.19 0.23	
	0.13	2.6	0.42	0.29		
	0.25	2.5	0.44	0.25		
	0.5	2.7	0.41	0.18		
Rh-ReO _x /SiO ₂	0.13	添加量とともに CO吸着量は減少	0.41 0.28 0.23 0.17	0.28	0.13 0.18 0.18 0.17	
	0.25			0.23		
	0.5			0.17		

^a Rh_s/Rh=1.098 nm/particle size

Mo/Rh=Re/Rh = 0.13では、添加したMo or ReがすべてCO吸着を抑制
添加したMo or ReがすべてRh金属表面と相互作用
→ Mo/Rh=Re/Rh = 0.13 の構造解析(EXAFS)

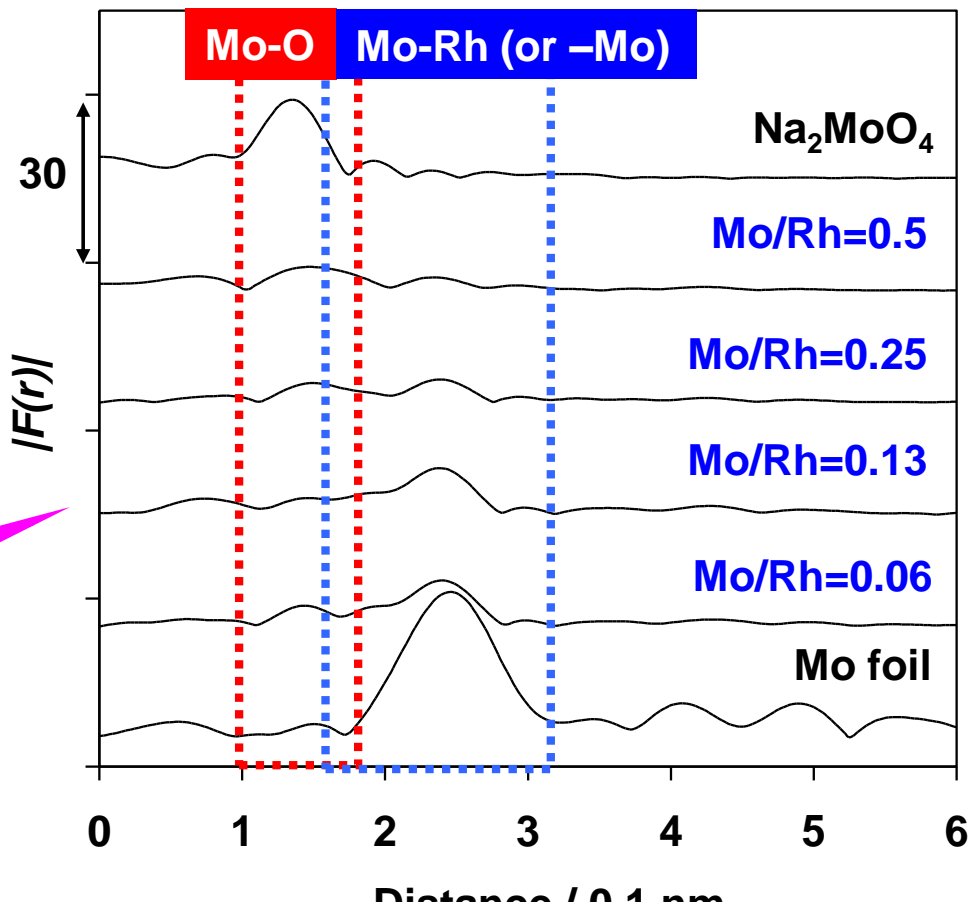
Characterization of Rh-MoO_x/SiO₂ (Mo K-edge EXAFS)



Curve fitting analysis

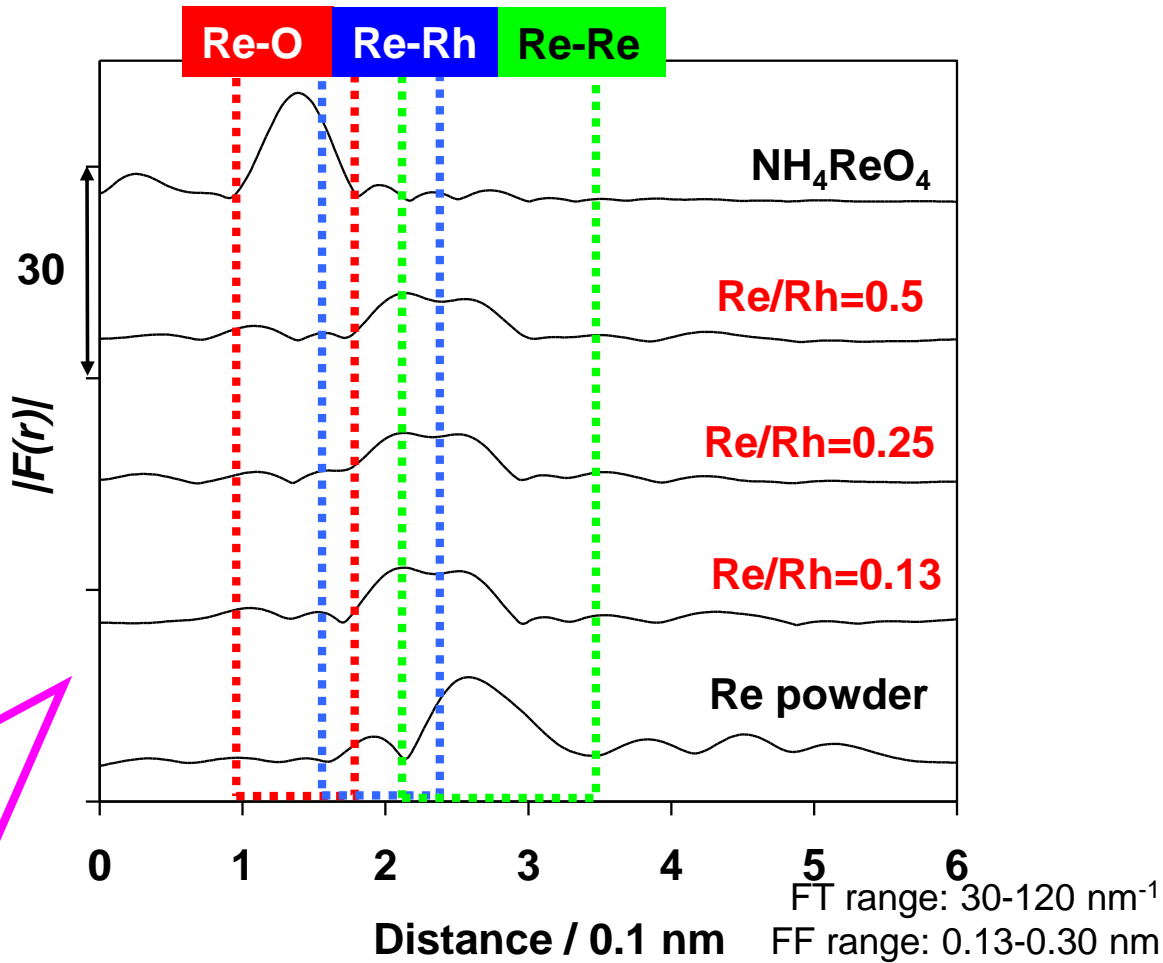
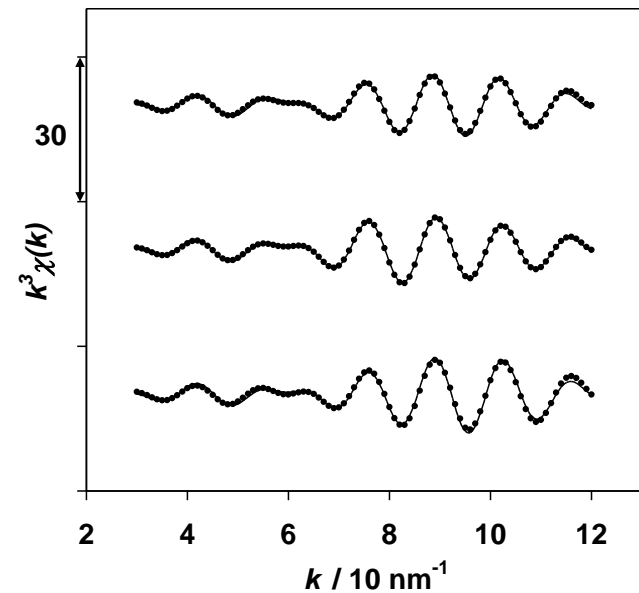
Mo/Rh	Shells	CN ^a	R / nm ^b
0.5	Mo-O	2.6	0.204
	Mo-Rh (or -Mo)	1.4	0.262
0.25	Mo-O	1.7	0.203
	Mo-Rh (or -Mo)	2.3	0.264
0.13	Mo-O	1.1	0.208
	Mo-Rh (or -Mo)	3.0	0.264
0.06	Mo-O	0.9	0.201
	Mo-Rh (or -Mo)	3.5	0.265

^a Coordination number. ^b Bond distance.



MoとRhは直接相互作用
(配位数3程度)

Characterization of Rh-ReO_x/SiO₂ (Re L₃-edge EXAFS)



Curve fitting analysis

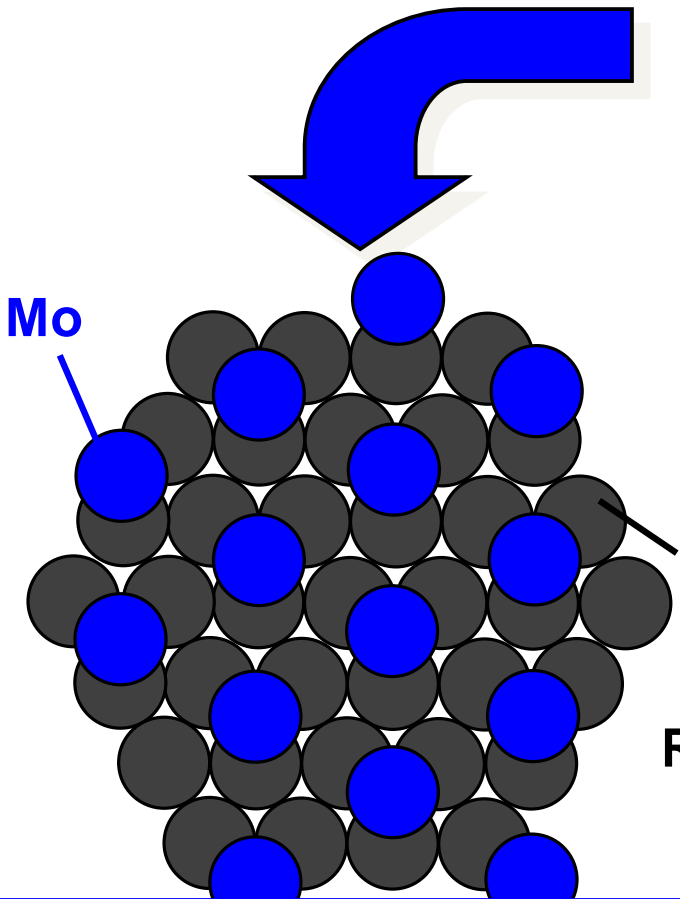
Re/Rh	Shells	CN ^a	R / nm ^b
0.5	Re-O	1.3	0.213
	Re-Rh	3.6	0.268
	Re-Re	2.8	0.273
0.25	Re-O	1.2	0.210
	Re-Rh	3.6	0.267
	Re-Re	2.2	0.273
0.13	Re-O	0.6	0.213
	Re-Rh	3.8	0.266
	Re-Re	2.0	0.271

^a Coordination number. ^b Bond distance.

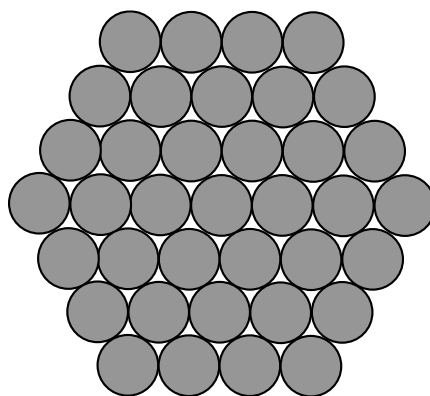
ReとRhは直接相互作用(配位数~3)
Re-Re結合も観測→クラスター状

Model structure of Rh-MO_x/SiO₂ (M: Re, Mo; M/Rh=0.13)

Mo/Rh=0.13



Top view



Re/Rh=0.13

Rh metal surface
(1 1 1)

Rh with adjoining
Mo or Re

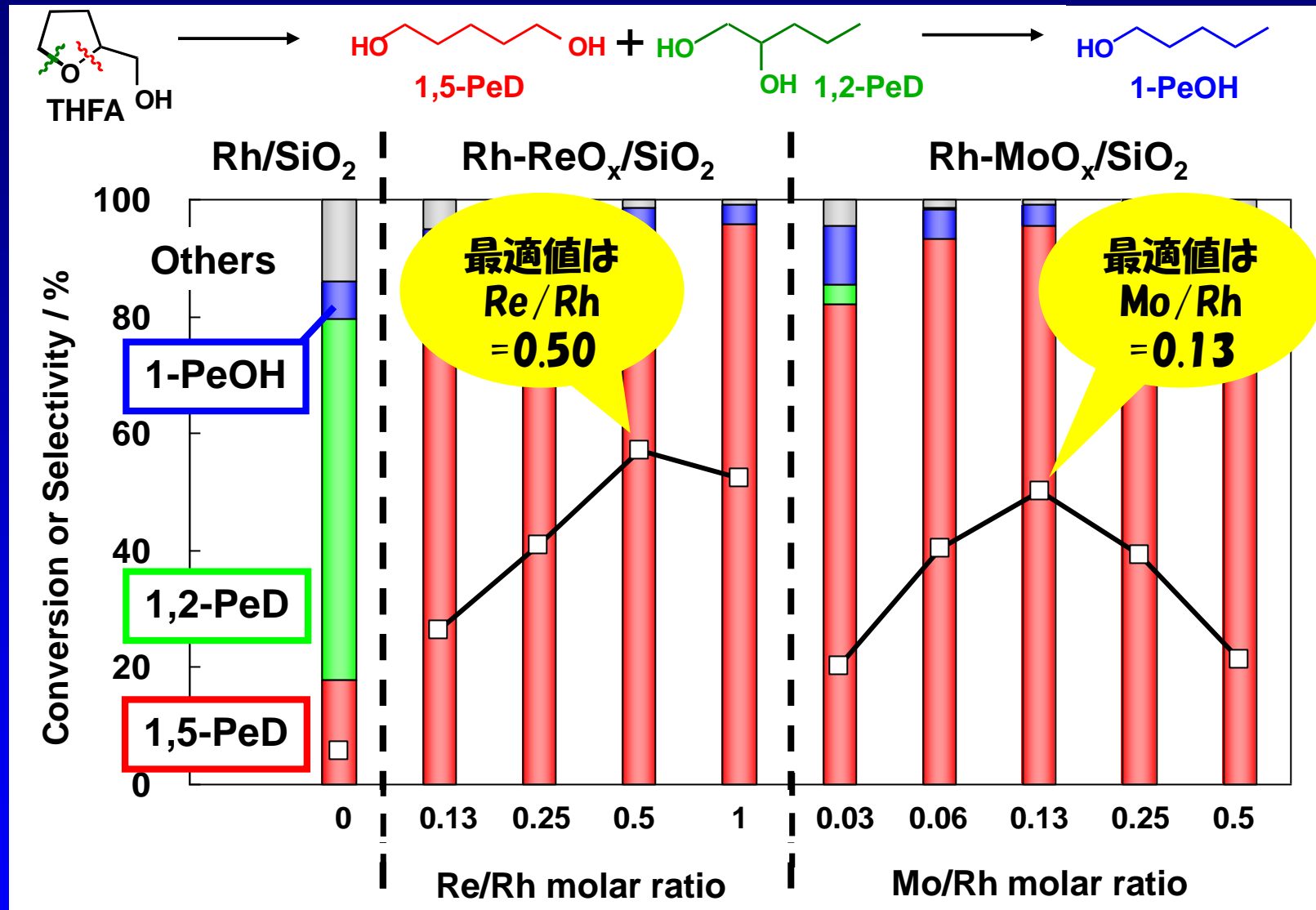
Rh without adjoining Re

孤立 MoO_x種がRh表面の3-fold
hollowサイトに

Rh表面の3-fold hollowサイト上の
ReがReO_xクラスタの形成

Re

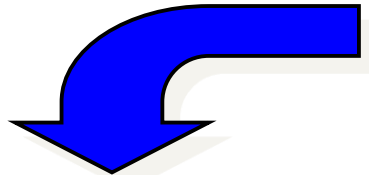
Re, Mo添加量依存



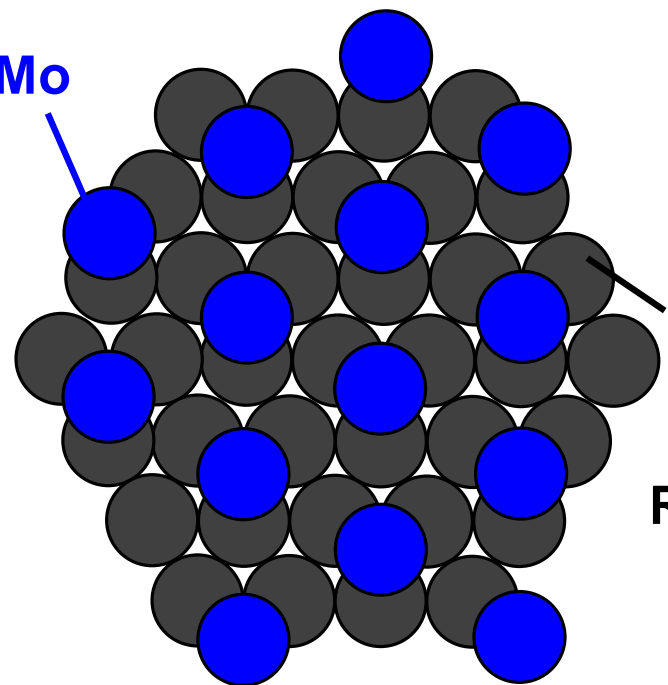
Conditions : $P = 8.0 \text{ MPa}$, $T = 393 \text{ K}$, $m_{\text{cat}} = 50 \text{ mg}$, $t = 4 \text{ h}$,
 $\text{Rh} = 4 \text{ wt\%}$, Reactant = 5 wt% THFA aqueous solution 20 ml.

Model structure of Rh-MO_x/SiO₂ (M: Re, Mo; M/Rh=0.13)

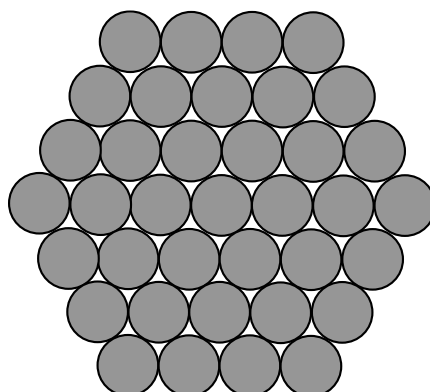
Mo/Rh=0.13



Mo



Top view

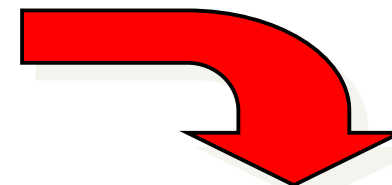


Rh metal surface
(1 1 1)

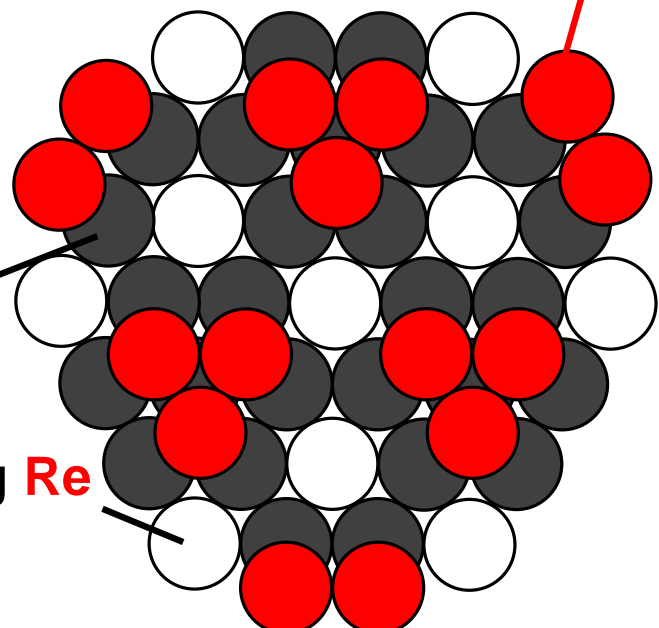
Rh with adjoining
Mo or Re

Rh without adjoining Re

Re/Rh=0.13



Re



すべてのRhをMoで修飾
Mo/Rh=0.13が最適

Reで修飾されていないRhあり
最適値はRe/Rh>0.13

新しい炭素—酸素結合水素化分解反応用 触媒の構造 ($\text{Ir}-\text{ReO}_x$, $\text{Rh}-\text{ReO}_x$, $\text{Rh}-\text{MoO}_x$)

XRD, TEM,
昇温水素還元, XPS,
CO吸着量測定,
CO吸着FTIR,
XAES, XANES

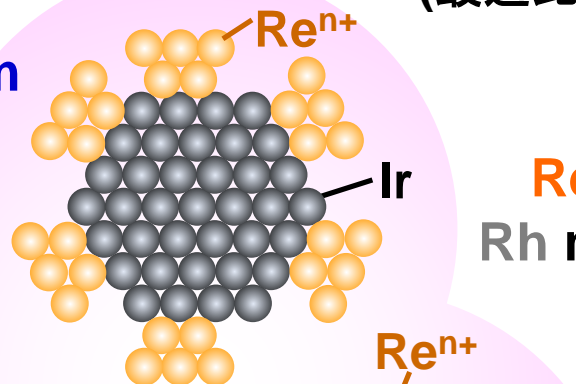
ReO_x 3-D clusters on Ir metal particles (2 nm)

(J. Phys. Chem. C, 116, 23503 (2012))

Re-O: 1.6, 0.204 nm

Re-Ir (or -Re) : 5.5, 0.265 nm

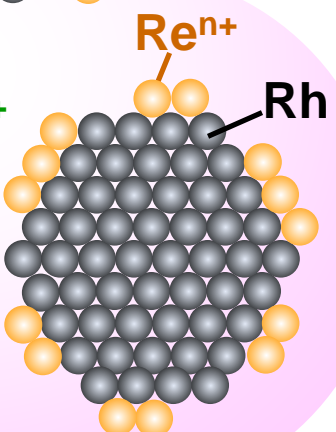
(最適比 $\text{Re}/\text{Ir}=1$)



ReO_x 2-D clusters on Rh metal particles (3 nm)

(J. Phys. Chem. C,
116, 3079 (2012))

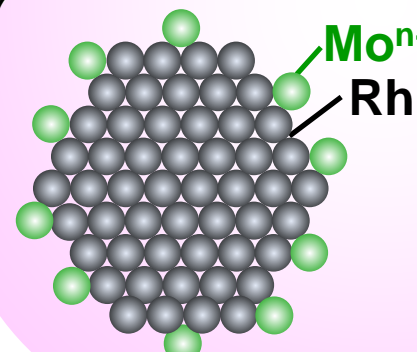
(最適比 $\text{Re}/\text{Rh}=0.5$)



Isolated MoO_x on Rh metal particles (3 nm)

(Appl. Catal. B, 111-112, 27
(2012))

(最適比 $\text{Mo}/\text{Rh}=0.13$)



Mo-O: 1.1, 0.208 nm

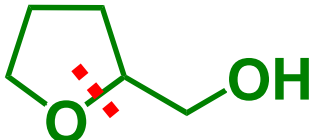
Mo-Rh (or -Mo):
3.0, 0.264 nm

金属酸化物修飾(Re, Mo)-
金属微粒子(Ir, Rh)触媒

吸收原子—
散乱原子

配位数,
結合距離

Re及びMo酸化物修飾一金属(IrまたはRh)触媒 (Ir-ReO_x, Rh-ReO_x, Rh-MoO_x)を用いた テトラヒドロフルフリアルコールの水素化分解反応による 1,5-ペンタンジオールの合成



Tetrahydrofurfuryl alcohol (THFA)

..... 水素化分解位置

Single step

最高収率94%
1,5-Pentanediol

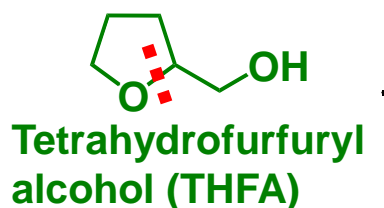
Rh-ReO_x or Rh-MoO_x
Chem. Commun. 2009
J. Catal. 2009
ChemCatChem 2010
Appl. Catal. B 2012

従来型触媒と比較して
高選択性・高活性、一段階反応

本研究以後、他の研究者による同一
触媒系の研究、THFA水素化分解研
究が行われきている。

..... 水素化分解位置

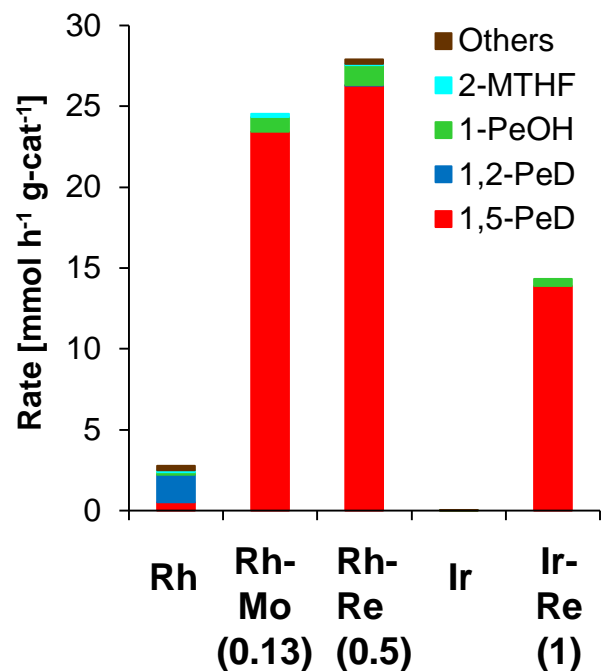
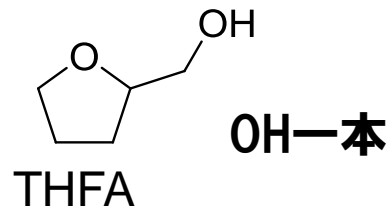
並行してグリセリンの
水素化分解研究も実施



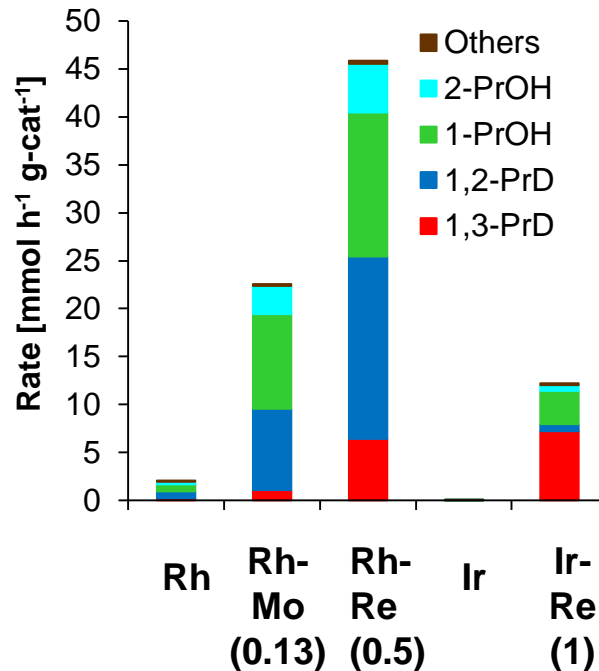
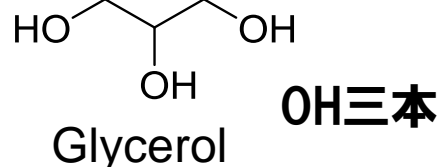
THFAとグリセリンの水素化分解の類似性：
水素化分解位置 $-\text{O}-\text{C}-\text{CH}_2\text{OH}$

1,3-PrD選択性はRh-ReO_x, Rh-MoO_xでは不十分
 \Rightarrow さらなる触媒探索

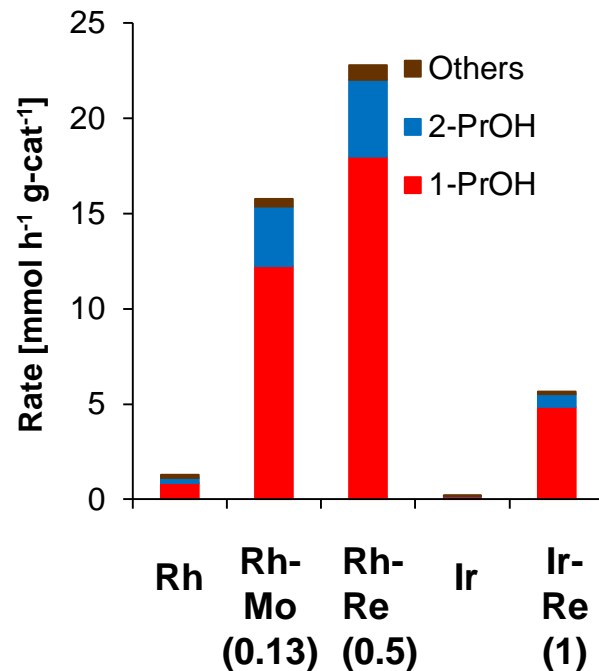
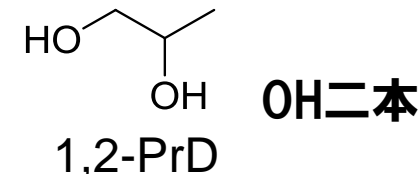
水素化分解の活性と選択性のまとめ



THFA, 1 g (5 wt% eq.), catal., 50 mg (for Ir-Re, 150 mg); H_2 , 8 MPa; $H^+/Re=1$ (for only Ir-Re); 393 K. Time and conversion: Rh, 4 h, 5.7%; Rh-Mo, 4 h, 50.1%; Rh-Re: 4 h, 56.9%; Ir, 24 h, <0.1%; Ir-Re, 2 h, 43.9%.



Glycerol, 4 g (67 wt% eq.; for Ir-Re, 80 wt% eq.), catal., 150 mg (for Ir, 600 mg); H_2 , 8 MPa; $H^+/Re=1$ (for only Ir-Re); 393 K. Time and conversion: Rh, 5 h, 3.6%; Rh-Mo, 5 h, 38.9%; Rh-Re: 5 h, 79%; Ir, 240 h, 7.7%; Ir-Re, 12 h, 50.5%.

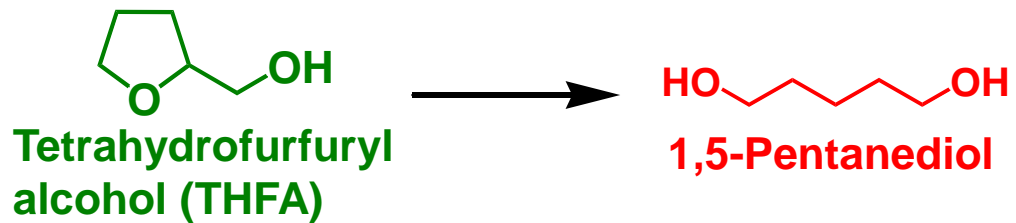


1,2-PrD, 4 g (20 wt% eq.), catal., 150 mg (for Ir, 300 mg); H_2 , 8 MPa; $H^+/Re=1$ (for only Ir-Re); 393 K. Time and conversion: Rh, 24 h, 8.8%; Rh-Mo, 4 h, 18%; Rh-Re: 4 h, 26%; Ir, 48 h, 5.1%; Ir-Re, 24 h, 38.6%.

グリーンサステイナブルケミストリー研究会(第4回) 2015/12/8
触媒研究の近未来 —作用中の触媒に迫る—
SPring-8利用推進協議会 研究開発委員会

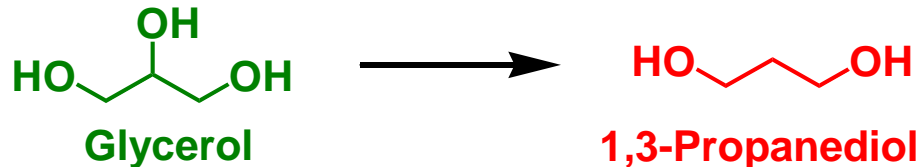
金属一酸化物界面を活性点とするC-O結合水素化分解反応
東北大院工 富重圭一

1. C-O結合水素化分解反応とバイオマス化学品製造
2. Rh-ReO_x及びRh-MoO_x触媒を用いたテトラヒドロフルフリルアルコールの水素化分解

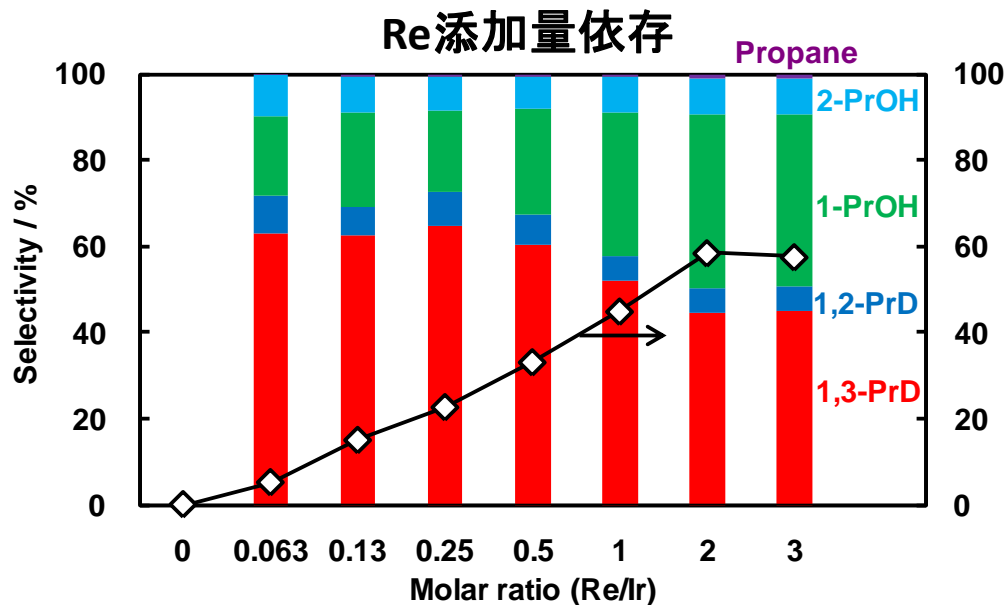


3. Ir-ReO_x触媒を用いたグリセリンの水素化分解

4. Ir-ReO_x構造解析

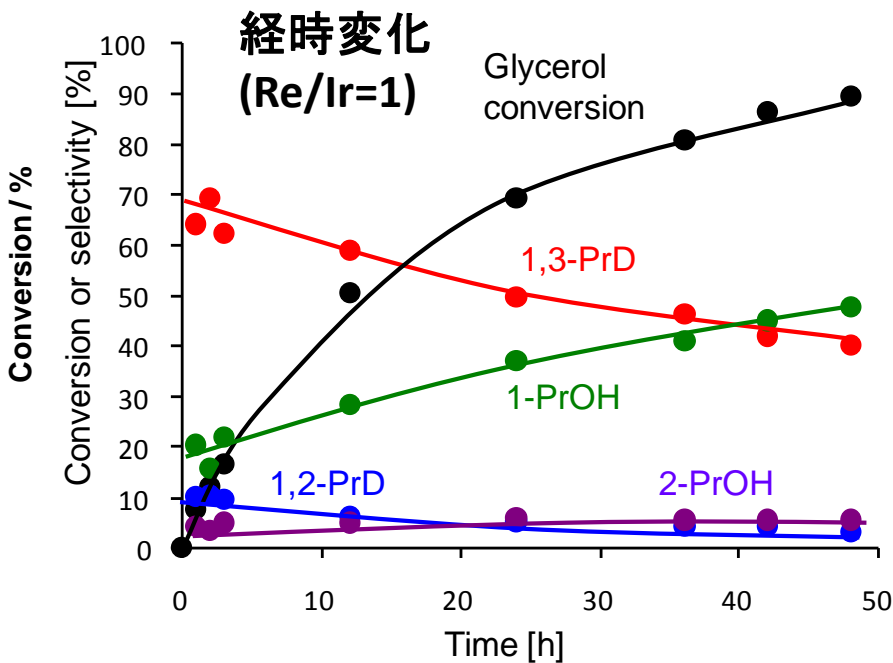
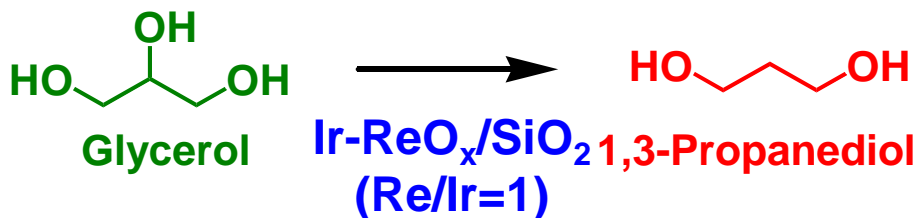


Re酸化物修飾—Ir金属 ($\text{Ir}-\text{ReO}_x$) 触媒上のグリセリン水素化分解



Conditions: 67 wt% Glycerol aq 6 g, $m_{\text{cat}} = 150 \text{ mg}$,
 $T = 393 \text{ K}$, $t = 12 \text{ h}$,
 $P = 8.0 \text{ MPa}$, $\text{H}_2\text{SO}_4 (\text{H}^+/\text{Ir} = 1)$. PrD: propanediol,
PrOH: propanol.

Ir/SiO₂, ReO_x/SiO₂: 極めて低活性
IrとReの共存で触媒活性が発現



Conditions: Catalyst (150 mg), glycerol (4 g), water (1 g), H_2 (8 MPa), $\text{H}_2\text{SO}_4 (\text{H}^+/\text{Ir}=1)$, 393 K.

J. Catal. 272, 191 (2010)
Appl. Catal. B 105, 117 (2011)

当時の世界最高収率(38%)
現在も世界最高活性(58 h^{-1} @ 393 K)

他の報告例(<<10 h^{-1} @ 453 K)

グリセリンの水素化分解による1,3-PrD合成に関する報告例

Catalyst	Solvent	Glycerol/M (molar ratio)	Temp. / K	1,3-PrD Yield / %	TOF / h ⁻¹
^a Pt/WO ₃ /ZrO ₂	DMI	290	443	24	3.9
^b Pt/WO ₃ /ZrO ₂	None	—	403	32	—
^c Cu-H ₄ SiW ₁₂ O ₄₀ /SiO ₂	None	—	443	27	—
^d Pt-Re/C	Water	350	443	13	4.0
^e Pt/WO ₃ /TiO ₂ /SiO ₂	Water	210	453	8	1.5
^f Pt/sulfated ZrO ₂	DMI	280	443	56	0.7
^g Pt/WO _x /AlOOH	Water	110	453	66-69	6.1
^h Rh-ReO _x /SiO ₂	Water (none)	750	393	11	1.7
ⁱ Ir-ReO _x /SiO ₂	Water (none)	1390	393	38	15 (36 h)
ⁱ Ir-ReO _x /SiO ₂	Water (none)	1390	393	8	58 (2 h)

Pt/WO_x/AlOOH:1,3-PrD高収率 金田(大阪大)

Ir-ReO_x/SiO₂: 2010年当時最高収率、現時点でも最高TOF(触媒回転速度)、他例より低温。

J. Catal. 272, 191 (2010)
Appl. Catal. B 105, 117 (2011)

^aY. Sasaki., et al., *Catal. Commun.*, 9 (2008) 1360.

^bC.L. Chen et al., *Green Chem.* 12 (2010) 1466.

^cL.Huang et al., *Catal. Lett.* 131 (2009) 312.

^dR.J. Davis et al., *ChemCatChem* 7 (2010) 1107.

^eY. Ding et al., *Appl. Catal. A* 390 (2010) 119.

^fH.Lee et al., *Green Chem.* 13 (2011) 2004.

^gK. Kaneda et al., *ChemSusChem* 6 (2013) 1345.

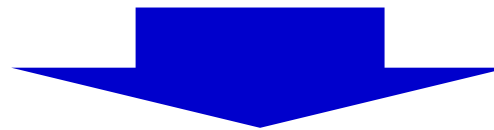
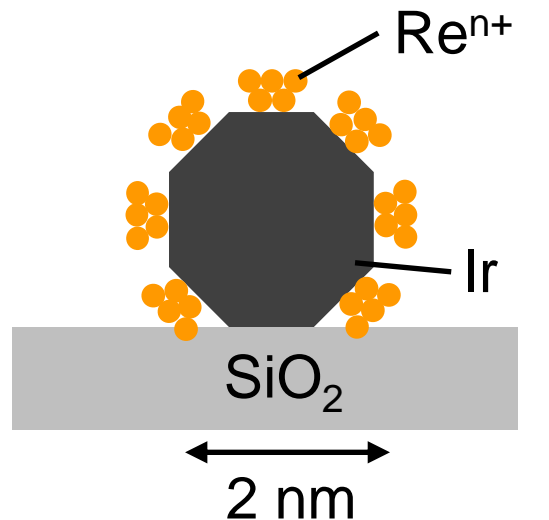
^hY. Shinmi et al., *Appl. Catal. B* 94 (2010) 318.

ⁱY. Nakagawa et al., *J. Catal.* 105 (2010) 191.

触媒解析手法

XRD	・ ・ ・ Ir 粒子径, 金属(Ir)の酸化状態
TEM	・ ・ ・ Ir 粒子径
TPR, XPS	・ ・ ・ 金属(Ir, Re)の酸化状態
CO-adsorption	・ ・ ・ 表面Irメタル量
XAES, XANES	・ ・ ・ 金属(Ir, Re)の酸化状態, 配位状態, 粒子径(Ir, Re)

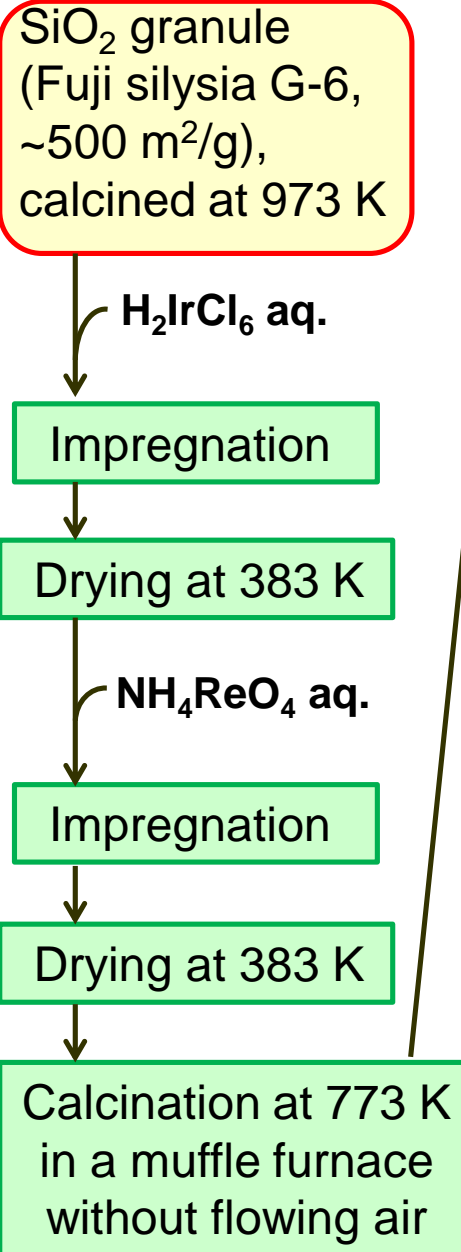
Image of Ir-ReO_x/SiO₂



- Irはメタル状態
- Irの粒子径は2 nm程度
- Reは低原子価(+2~+3)の酸化物
- Ir上にReO_xが集積した

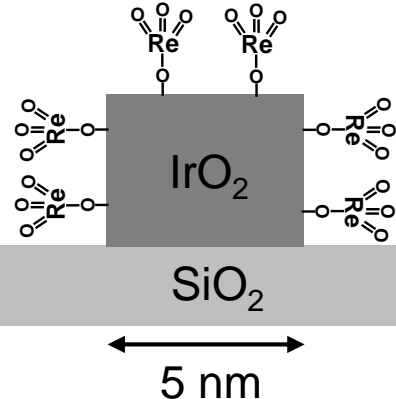
三次元クラスター構造

Ir-ReO_x/SiO₂触媒の調製



Calcined catalysts (stored in air)

Calcined Ir-ReO_x/SiO₂



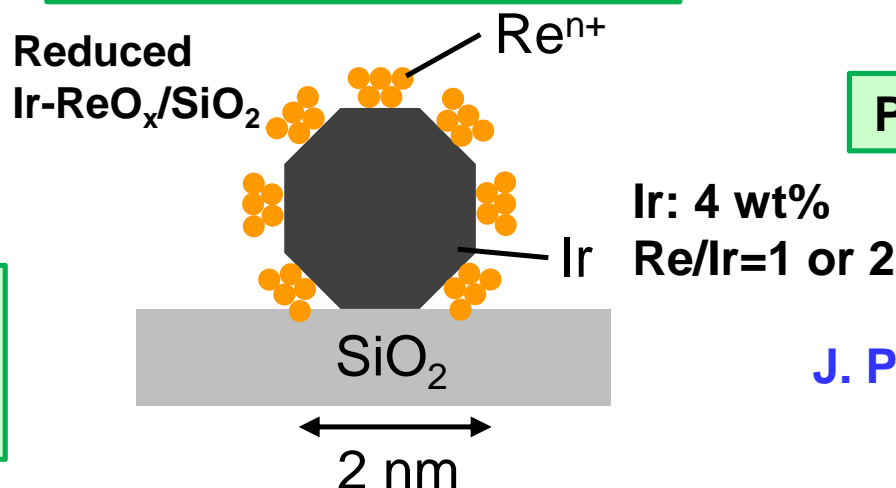
Reduction of the catalyst
in water or a solvent in the
autoclave reactor at 473 K
with hydrogen

Substrates and
solvents were
introduced into the
autoclave without
exposing the reduced
catalyst to air.

H₂ and heated

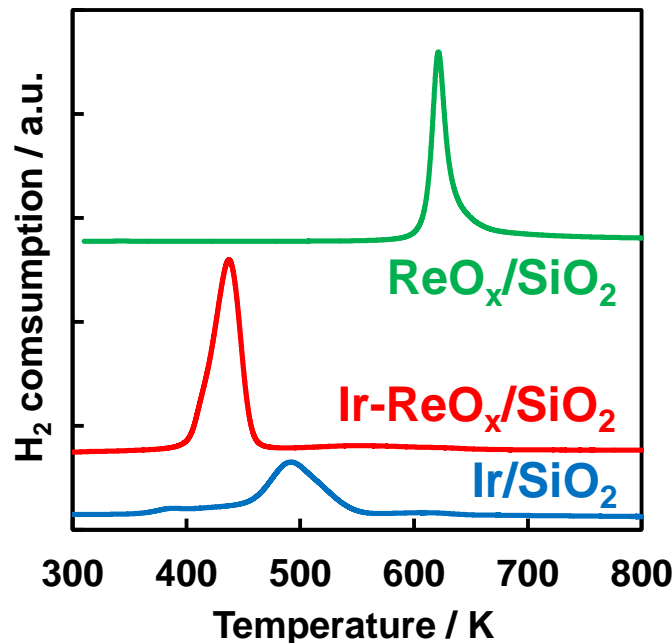
Catalytic reaction

Product analysis



- Ir-ReO_x/SiO₂ ... Ir: 4 wt%, Re/Ir = 1 (モル比)
- 担体: SiO₂ (富士シリシア G-6 (比表面積: 535 m² · g⁻¹)), 973 K, 1 h 焼成
- 金属前駆体: H₂IrCl₆ aq, NH₄ReO₄
- 触媒調製法: 逐次含浸法

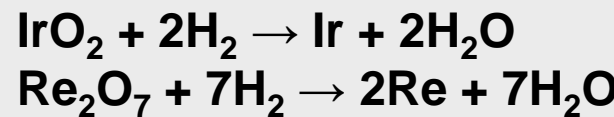
水素昇温還元測定(H₂-TPR)



5%H₂/Ar, 5 K/min (Ir and Ir-ReO_x) or
10 K/min (ReO_x) heating rate, 0.01 g-cat.

Y. Nakagawa et al., *J. Catal.*, 2010, 272, 191.
Y. Amada et al., *Appl. Catal. B*, 2011, 105, 117.

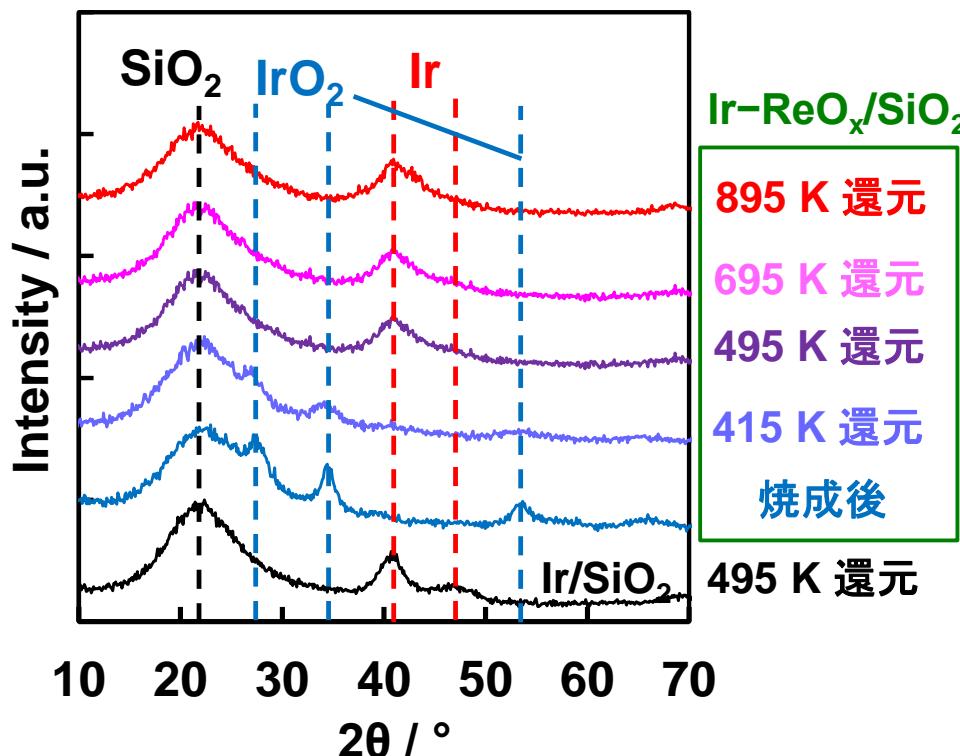
水素消費量 / mol	Ir価数	Re価数
2.8 × 10 ⁻⁵	—	1.6
4.4 × 10 ⁻⁵	0	2.5
2.0 × 10 ⁻⁵	0	—



- Ir-ReO_x/SiO₂はIr/SiO₂及びReO_x/SiO₂の単独触媒に比べ低温で還元が進行
- Ir種とRe種の相互作用

XRD, CO吸着; Ir/SiO₂, Ir-ReO_x/SiO₂ (Re/Ir = 1)

触媒	還元温度 / K	Ir粒子径 / nm	分散度 (D_{XRD})	分散度 (D_{CO})	$(D_{XRD}-D_{CO})^b$
			XRD	XRD	CO吸着 ^a
					/ %
Ir/SiO ₂	495	3.6	31	23	8
Ir-ReO _x /SiO ₂ (Re/Ir = 1)	415	-	ReがIr金属の 凝集を抑制	-	-
	495	2.0		53	16
	695	1.9		56	14
	895	2.0		53	11
					42



^aFT-IRより、Ir上のCOは非解離吸着 (2068 cm⁻¹)

^bXRDとCO吸着から見積もられる分散度の差

Ir-ReO_x/SiO₂

- XRD (495-895 K還元)
Irは約2 nmのメタルとして存在
- CO吸着 (495-895 K還元)
 D_{CO} (11-16%) << D_{XRD} (53-56%)

→ $D_{XRD}-D_{CO}$ は約40%より、表面に露出しているIr金属の大部分はReO_xで被覆

実験方法

TPR-XAFS

(Temperature Programmed Reduction-X-ray Absorption Fine Structure)

→水素流通下で昇温させることで、触媒を還元させながら連続的にXAFS測定を行う手法

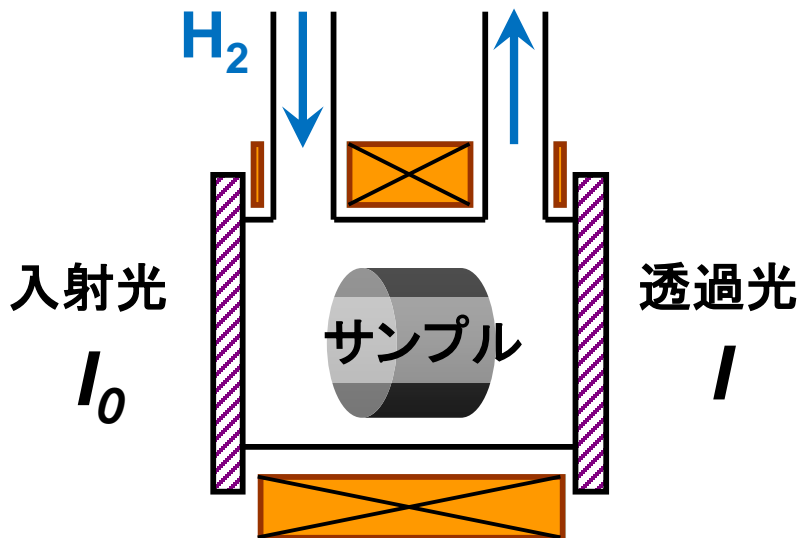
実験方法

流通ガス: 5%水素/アルゴン

ガス流量: 30 ml/min

昇温速度: 5 K/min

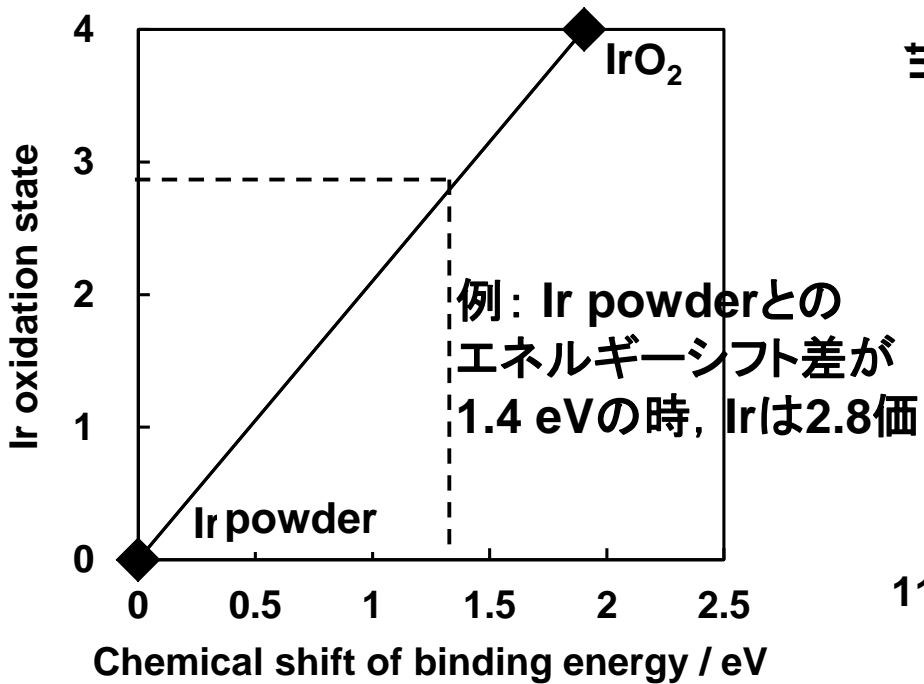
測定時間: 1 min (2分ごとに1回測定)



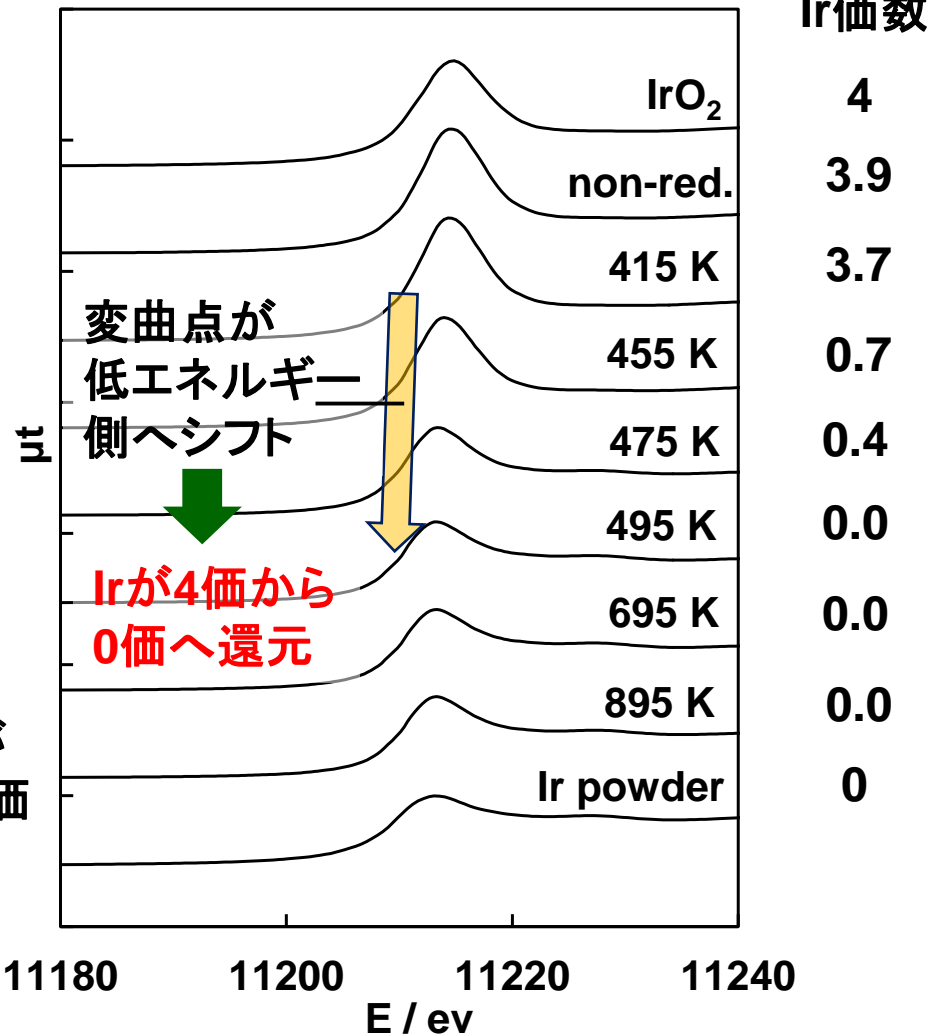
Ir L_3 -edge XANES; Ir-ReO_x/SiO₂ (Re/Ir = 1)

XANESで価数を見積もる手法

Pre-edgeの変曲点の
エネルギー差を利用して



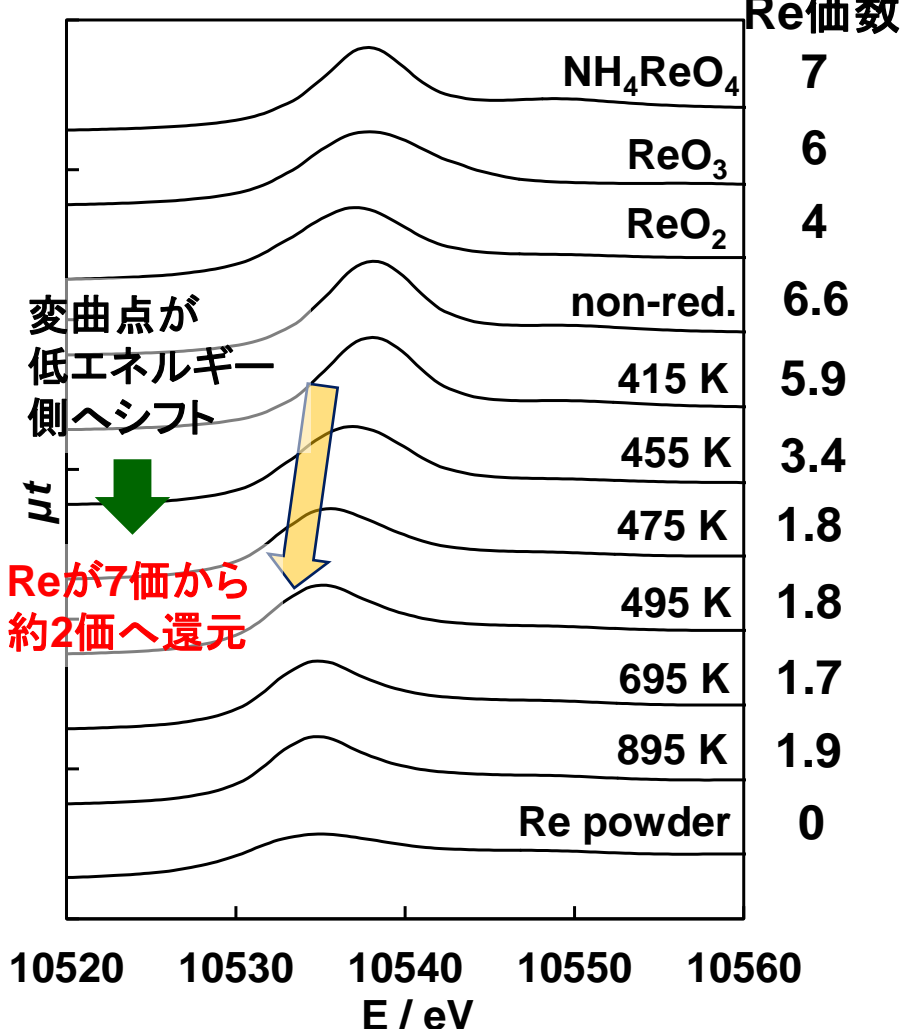
XANESスペクトル



Irは415-495 Kで Ir^{+4} から Ir^0 へ還元

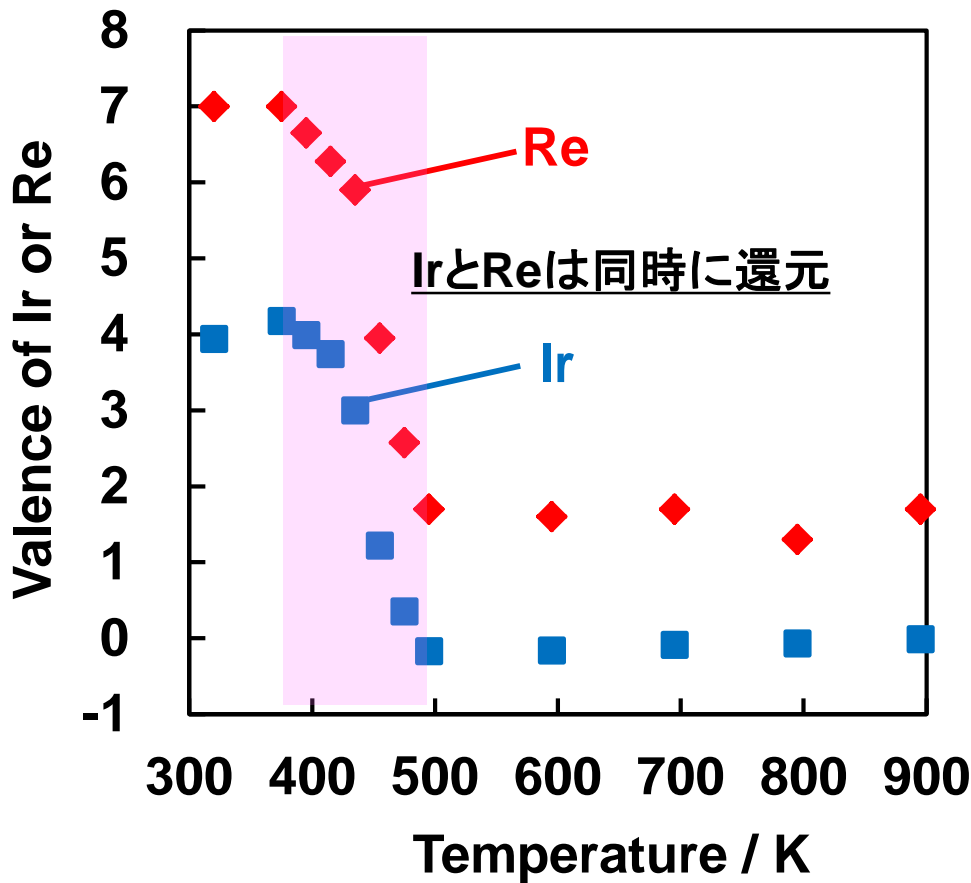
Re L_3 -edge XANES; Ir-ReO_x/SiO₂ (Re/Ir = 1)

XANESスペクトル



Reも415-495 Kで還元が進行 ($\text{Re}^{7+} \rightarrow \text{Re}^{2+}$)

XANES結果まとめ

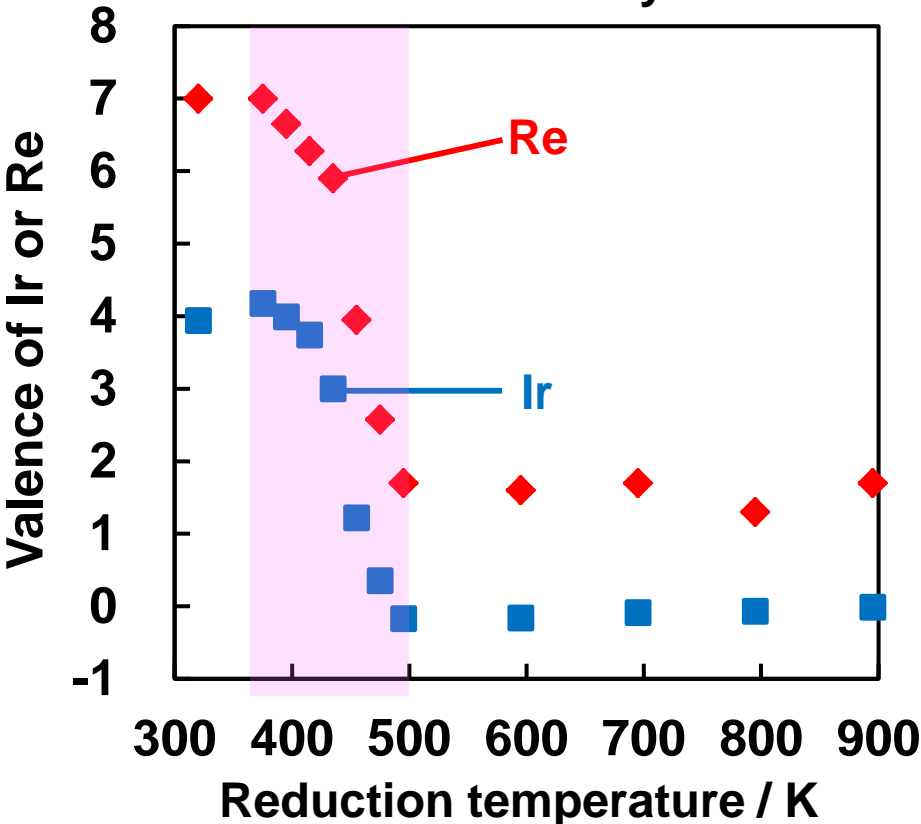


IrとReは同時に還元 (385-495 K)

495 KでIr種はメタル (XRDと一致),
Re種は2価程度で存在
(TPR, XPSと一致)

Ir-ReO_x/SiO₂ (Re/Ir = 1); XANES and XPS

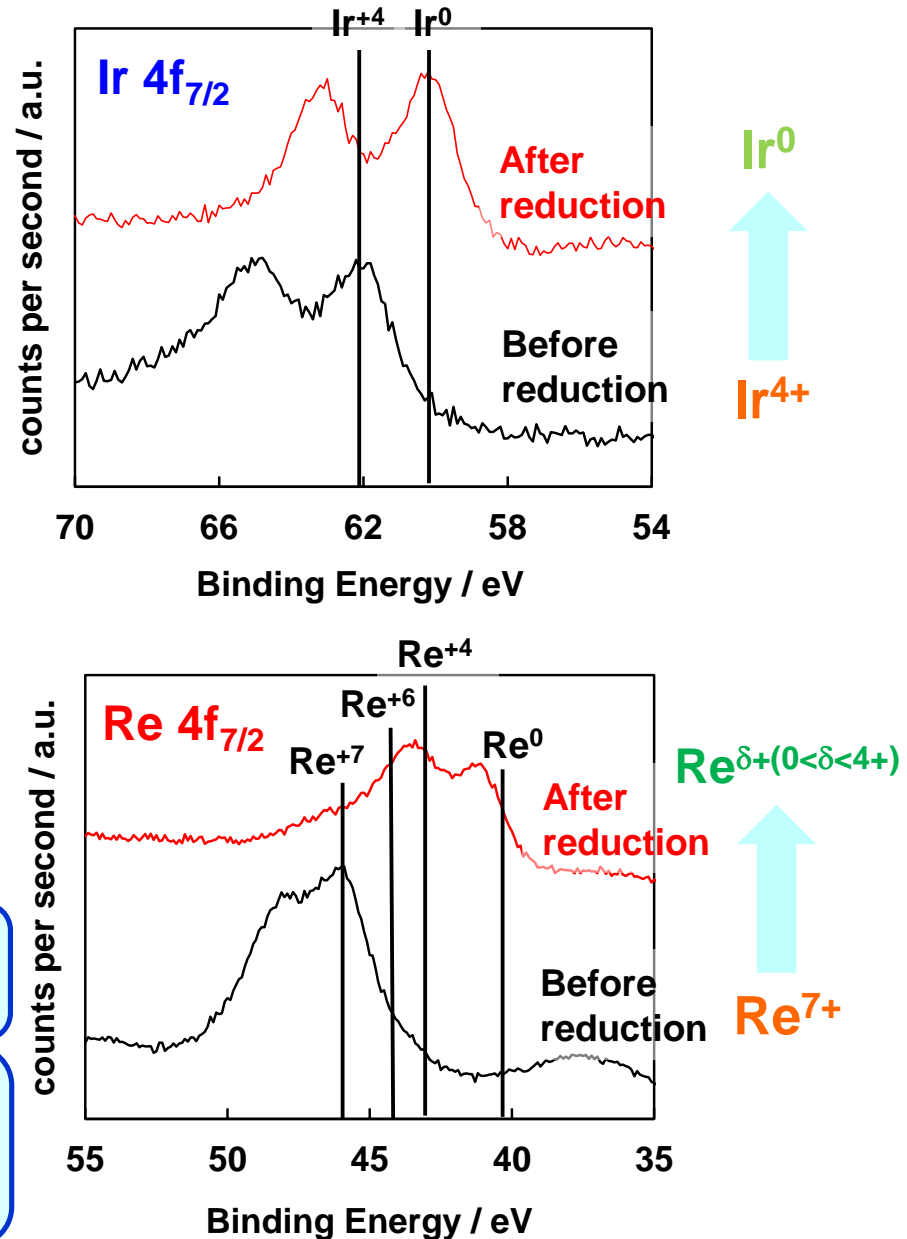
Valence of Ir or Re
from XANES analysis



Ir and Re species are simultaneously reduced (415~495 K).

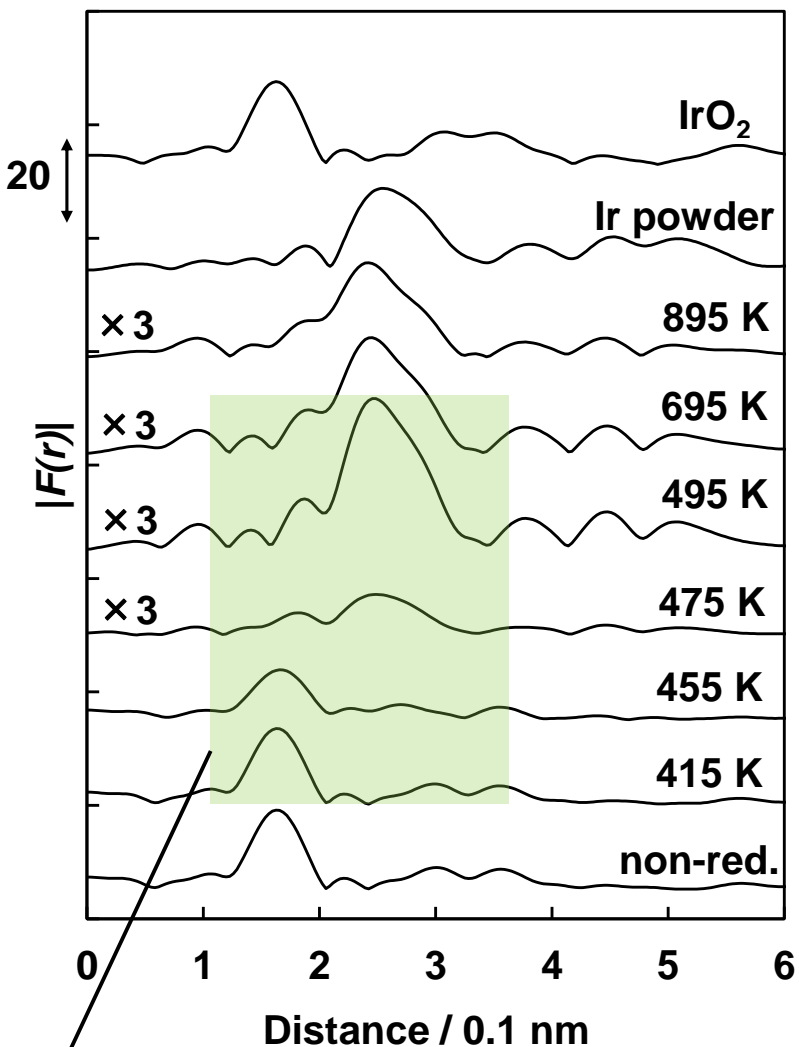
XANES and XPS indicate that Ir and Re species exists in metal Ir and low-valence Re after the reduction at 495 K.

J. Phys. Chem. C, 116, 23503 (2012)



Ir L_3 -edge EXAFS; Ir-ReO_x/SiO₂ (Re/Ir = 1)

フーリエ変換後のスペクトル



カーブフィッティング結果

還元温度 / K (標準サンプル)	配位数	
	Ir-O	Ir-Ir (or -Re)
non-red.	6.0	-
415	6.0	-
455	4.3	2.3
475	0.7	8.9
495	-	10.8
695	-	10.8
895	-	10.8
Ir powder	-	12
IrO ₂	6	-

Fourier filtering range: 0.126-0.322 nm.

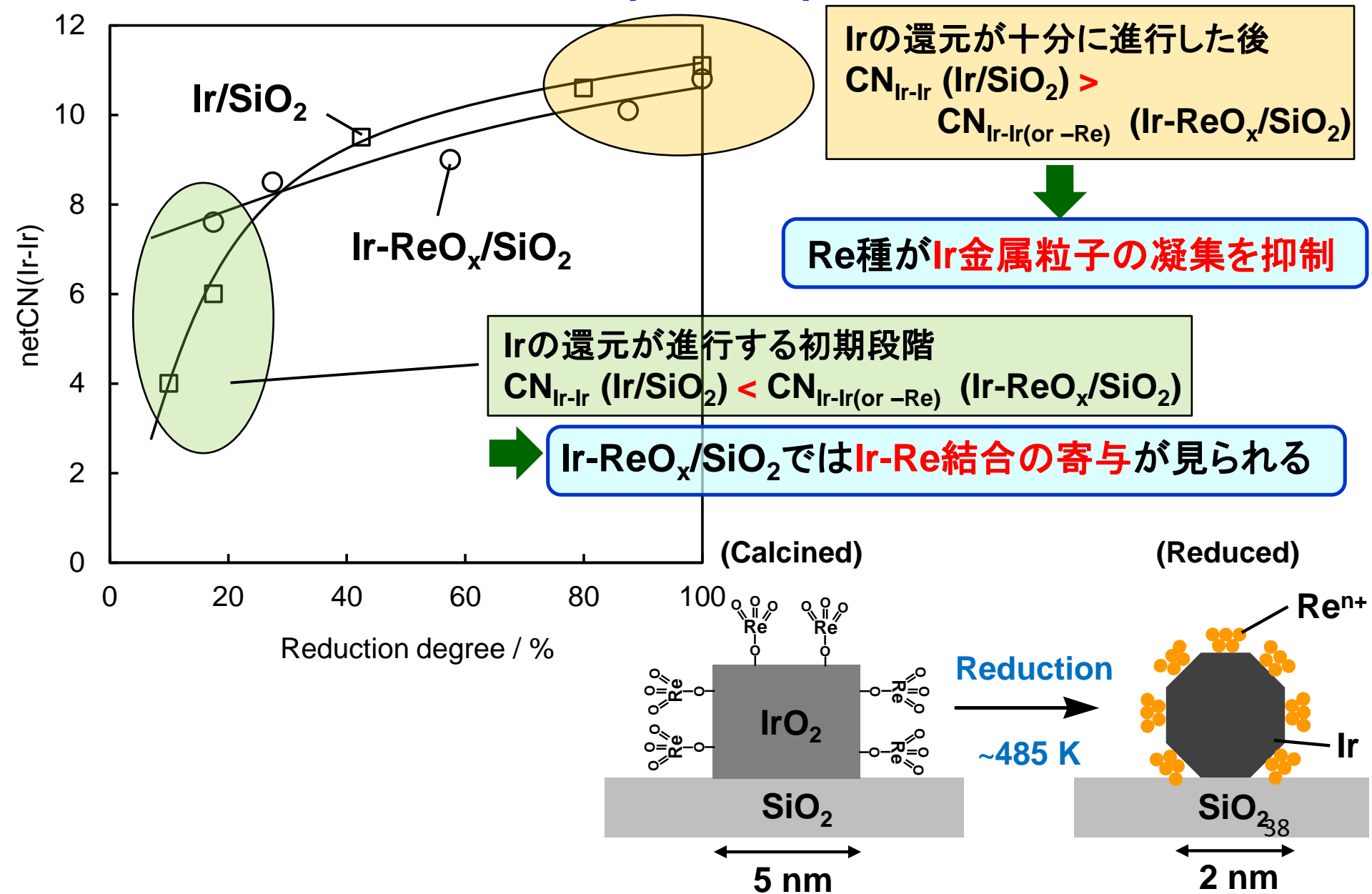
Ir種が徐々に還元され、
Ir金属粒子が成長する

Ir金属の凝集は
見られない
(XRDと一致)

結合距離 Ir-O: 0.198 nm (± 0.002)

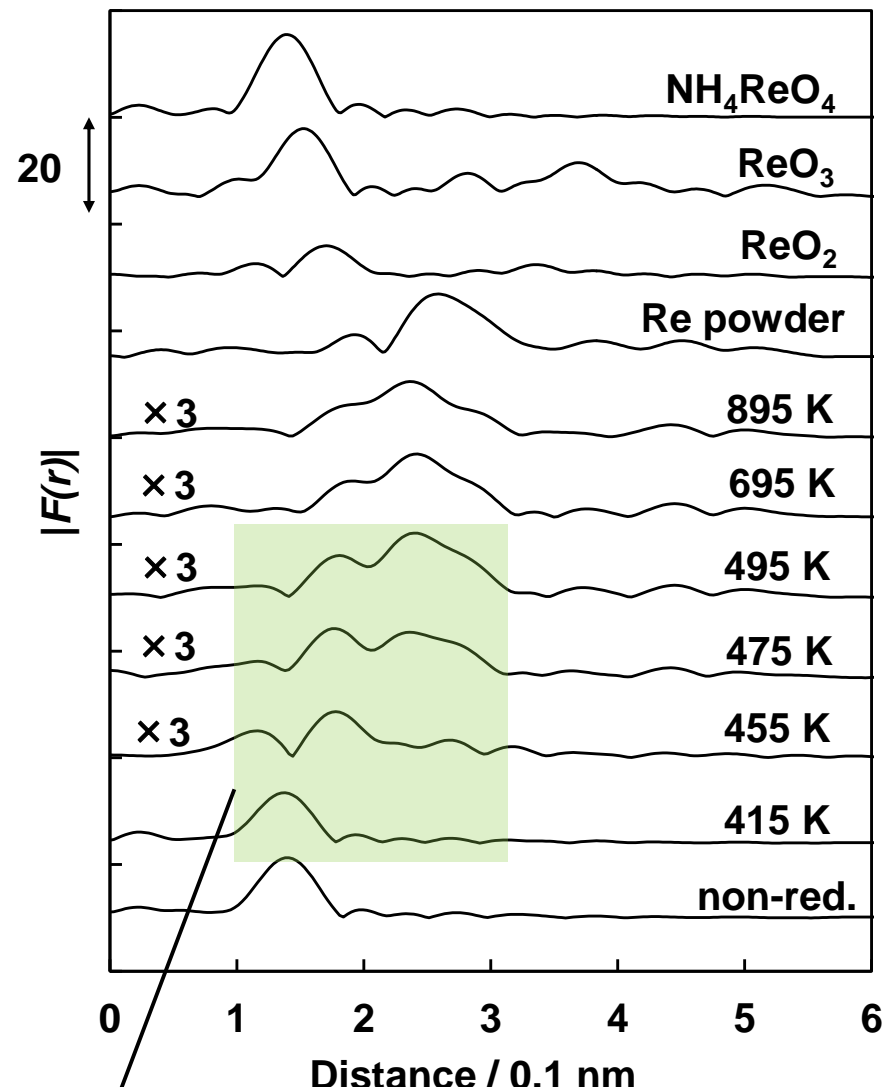
Ir-Ir (or -Re): 0.276 nm (± 0.001)

Ir/SiO₂及びIr-ReO_x/SiO₂ (Re/Ir = 1)のIr金属粒子成長過程におけるIr-Ir(or -Re)配位数の比較



Re L_3 -edge EXAFS; Ir-ReO_x/SiO₂ (Re/Ir = 1)

フーリエ変換後のスペクトル



Irと同様の415-495 KでReの還元が進行

カーブフィッティング結果

還元温度 / K (標準サンプル)	配位数		
	Re=O	Re-O	Re-Ir (or -Re)
non-red.	4.0	-	-
415	3.3	0.5	-
455	1.0	2.5	1.4
475	0.4	2.0	4.6
495	-	1.6	6.5
595	-	1.6	6.5
695	-	1.7	6.9
895	-	1.7	7.7
Ir powder	-	-	12
NH_4ReO_4	4	-	-

Fourier filtering range: 0.092-0.316 nm. 徐々に

Re-Ir (or -Re)の配位数は約6.5で一度安定 増加

結合距離(R) Re=O: 0.174 nm (± 0.002)
Re-O: 0.205 nm (± 0.002)
Re-Ir (or -Re): 0.272 nm (± 0.001)

$R(\text{Ir}-\text{Ir}) > R(\text{Re}-\text{Ir}) \leftarrow \text{Re} \text{はやや力チオニック}$

触媒構造モデル①; Ir-ReO_x/SiO₂ (Re/Ir = 1)

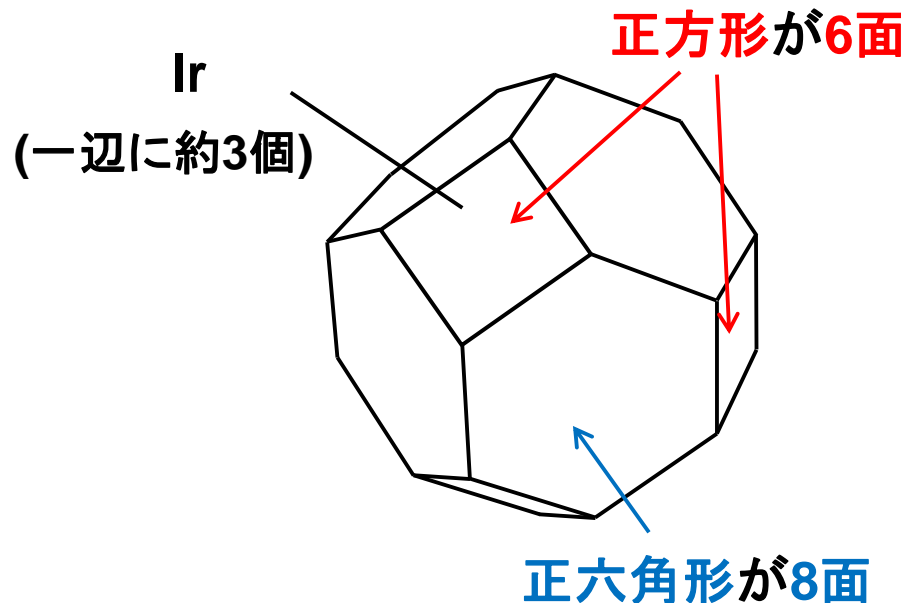
495 K還元後のIr-ReO_x/SiO₂ (Re/Ir = 1)のXRD及びCO吸着結果

Ir金属粒子径 / nm	分散度 (D_{XRD}) / %	分散度 (D_{CO}) / %	$(D_{XRD}-D_{CO}) / \%$
XRD	TEM	XRD	CO吸着
2.0	2.0	53	16
			37

- Ir L_3 -edge EXAFS測定のIr-Ir (or -Re)配位数10.8 (495 K還元後)から算出される金属分散度(約40~50%)はXRDと一致する

Irの構造モデル(495 K還元後の安定な状態)

→ Cuboctahedron構造を仮定



・Ir金属粒子径 (2 nm)と
Ir金属結合半径 (0.138 nm)より
一辺に含まれるIrの個数は約3個
この時,
モデルの全原子数は201個,
表面原子数は122個
分散度は61%(= 122/201)

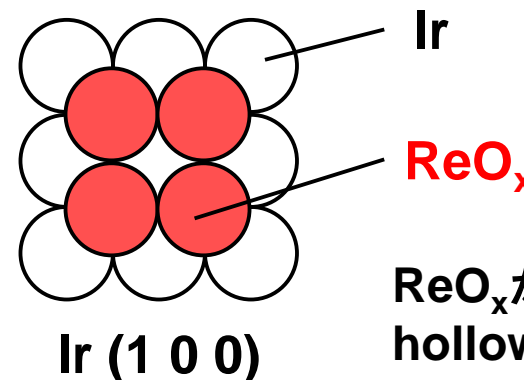
触媒構造モデル②; Ir-ReO_x/SiO₂ (Re/Ir = 1)

ReO_xの構造モデルを検討

Irを被覆する第一層の
ReO_xの割合は,
 $D_{\text{XRD}} - D_{\text{Co}}$ より37%

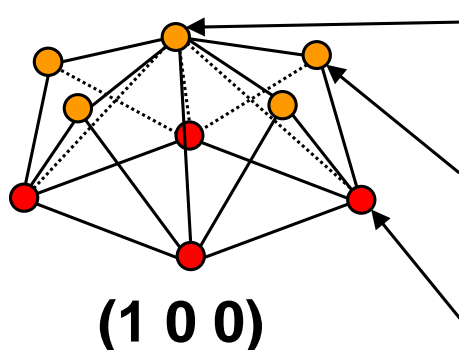
残りのReO_x(63%)が
第二層に存在すると仮定

表面のIr原子と第一層のReO_x



このモデルにおいて、Ir表面を被覆する第一層のReO_xの割合は44% (=4/9)

第一層のReO_xと第二層のReO_x



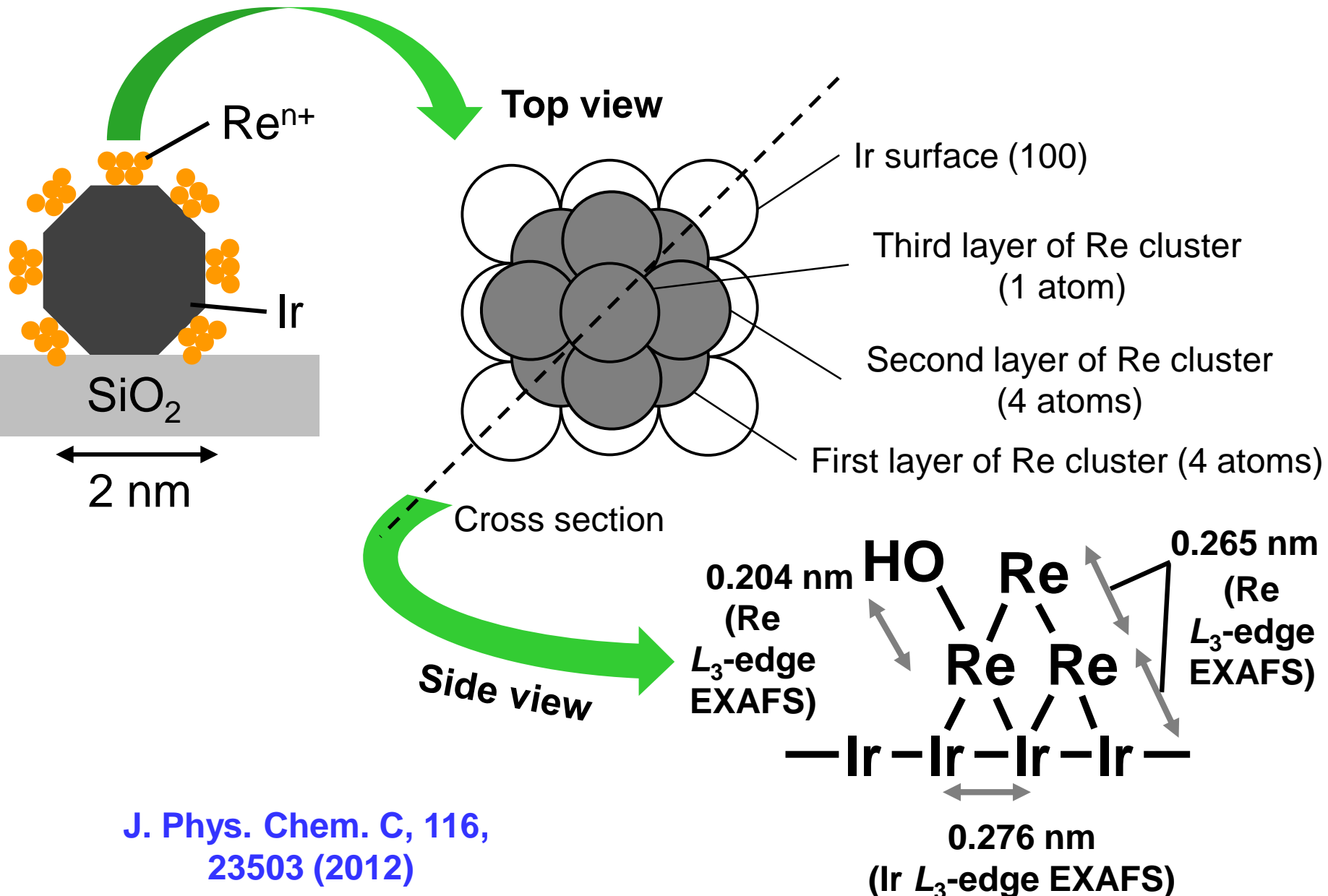
$\text{CN}_{\text{Re-Ir}} = 0$
$\text{CN}_{\text{Re-Re}} = 8$
$\text{CN}_{\text{Re-Ir}} = 0$
$\text{CN}_{\text{Re-Re}} = 3$
$\text{CN}_{\text{Re-Ir}} = 4$
$\text{CN}_{\text{Re-Re}} = 5$

このモデルの第二層のReO_xの割合は56% (=5/9)

$\text{CN}_{\text{Re-Ir (or -Re)}}$ の平均値;
 $(1 \times 8 + 4 \times 3 + 4 \times 9)/9 = \underline{6.2}$

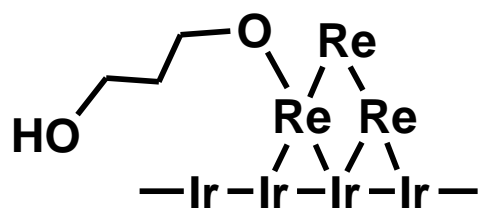
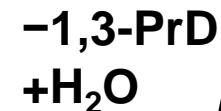
EXAFSで得られた
 $\text{CN}_{\text{Re-Ir (or -Re)}} = 6.5$ と一致

Model structure of 3D-ReO_x clusters on Ir-ReO_x/SiO₂

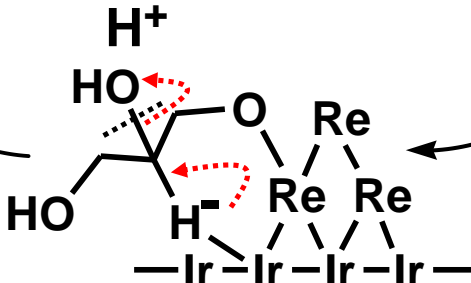


Ir金属微粒子ーReO_xクラスタ界面が触媒活性点となる ハイドライド攻撃による直接水素化分解機構

1,3-PrDが表面から脱離し、触媒サイクル完了

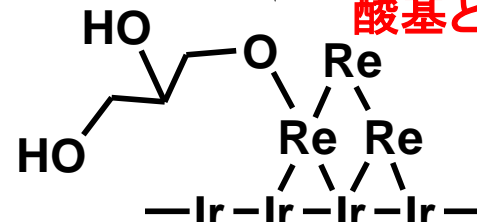


Ir上のH⁻がRe上の
グリセリン分子の
-CH₂OH基に隣接する
炭素原子を攻撃



上のReは下のRe-O結合の
動きを制限し、ハイドライド攻
撃の選択性を向上
(グリセリンの場合に顕著)

ReO_x clusterとグリセリン分子が相互作用・表面に固定



グリセリン濃度にゼロ
次: グリセリンの触媒への吸着は強い(1級水酸基との相互作用強)。

水素分子がIr金属上で活性化し、不均等解離によりH⁻とH⁺が生成

水素圧に1次: 水素1分子から
1つの活性水素種の生成
(kinetics, THFA+D₂反応)

THFAでも類似した反応機構

J. Catal. 272, 191 (2010)

Appl. Catal. B 105, 117 (2011)

J. Catal., 243, 171 (2012)

Ir-ReO_x/SiO₂上のポリオールの水素化分解

ChemSusChem 5, 1991 (2012)

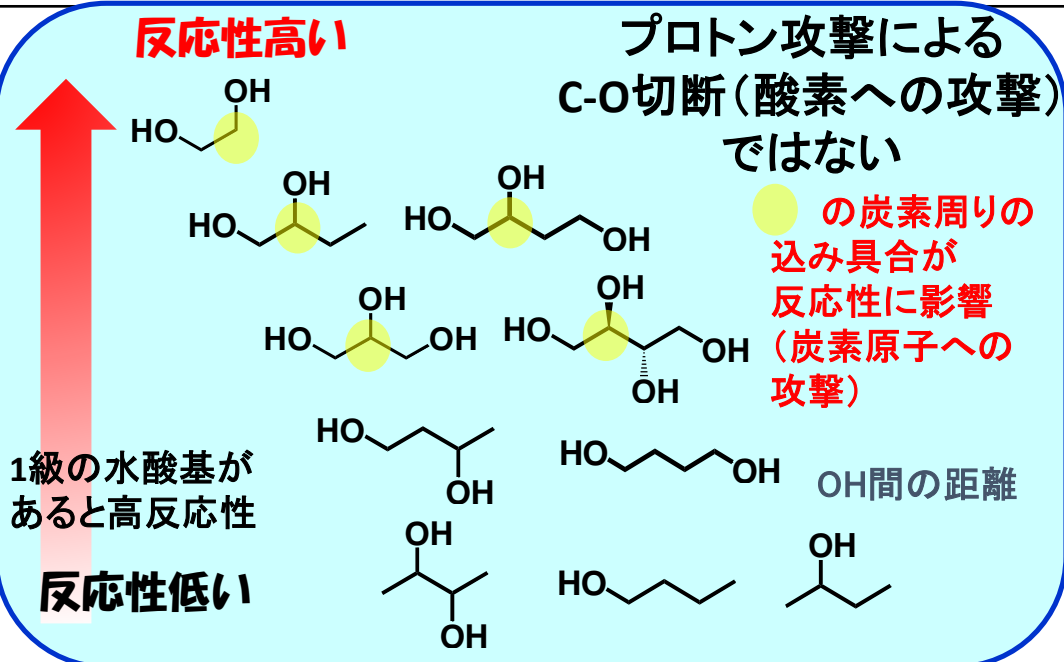
Entry	Substrate	Conv. / %	Products [selectivity / %]					
1		26	 [37]	 [21]	 [20]	 [8]	Others [14]	
2		51	 [73]	 [12]	 [7]	Others [7]		
3		12	 [97]	 [3]				
4		17	 [51]	 [47]	 [3]			
5		51	 [88]	 [10]	 [2]			
6		1	 [71]	 [29]				
7		3	 [>99]					
8		6	 [>99]					
9		27	 [66]	 [7]	 [19]	 [7]	Others [0]	
10		94	 [98]	Others [2]				

Conditions: Substrate 1 g, Water 4 g, Ir-ReO_x/SiO₂ 0.3 g, H₂SO₄ (H⁺/Ir = 1), P_{H₂} = 8 MPa, T = 373 K, t = 4 h.
 BuT = butanetriol, BuD = butanediol, BuOH = butanol.

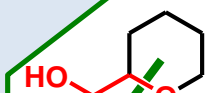
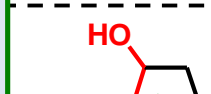
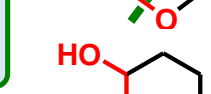
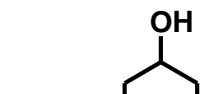
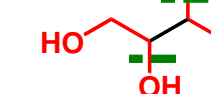
Ir-ReO_x/SiO₂上のポリオールの水素化分解

ChemSusChem 5, 1991 (2012)

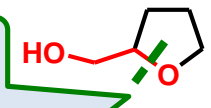
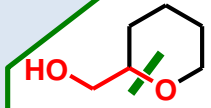
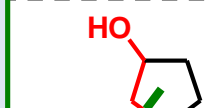
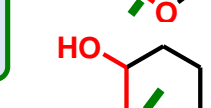
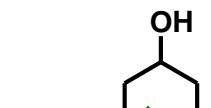
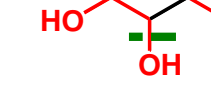
Entry	Substrate	Conv. / %	Products [selectivity / %]								
1		26		[37]		[21]		[20]		[8]	Others [14]
2		51		[73]		[12]		[7]	Others [7]		
3		12		[97]							
4		17		[51]							
5		51		[88]							
6		1		[71]							
7		3		[>99]							
8		6		[>99]							
9		27		[66]		[7]		[19]		[7]	Others [0]
10		94		[98]	Others	[2]					



Conditions: Substrate 1 g, Water 4 g, Ir-ReO_x/SiO₂ 0.3 g, H₂SO₄ (H⁺/Ir = 1), P_{H₂} = 8 MPa, T = 373 K, t = 4 h.
BuT = butanetriol, BuD = butanediol, BuOH = butanol.

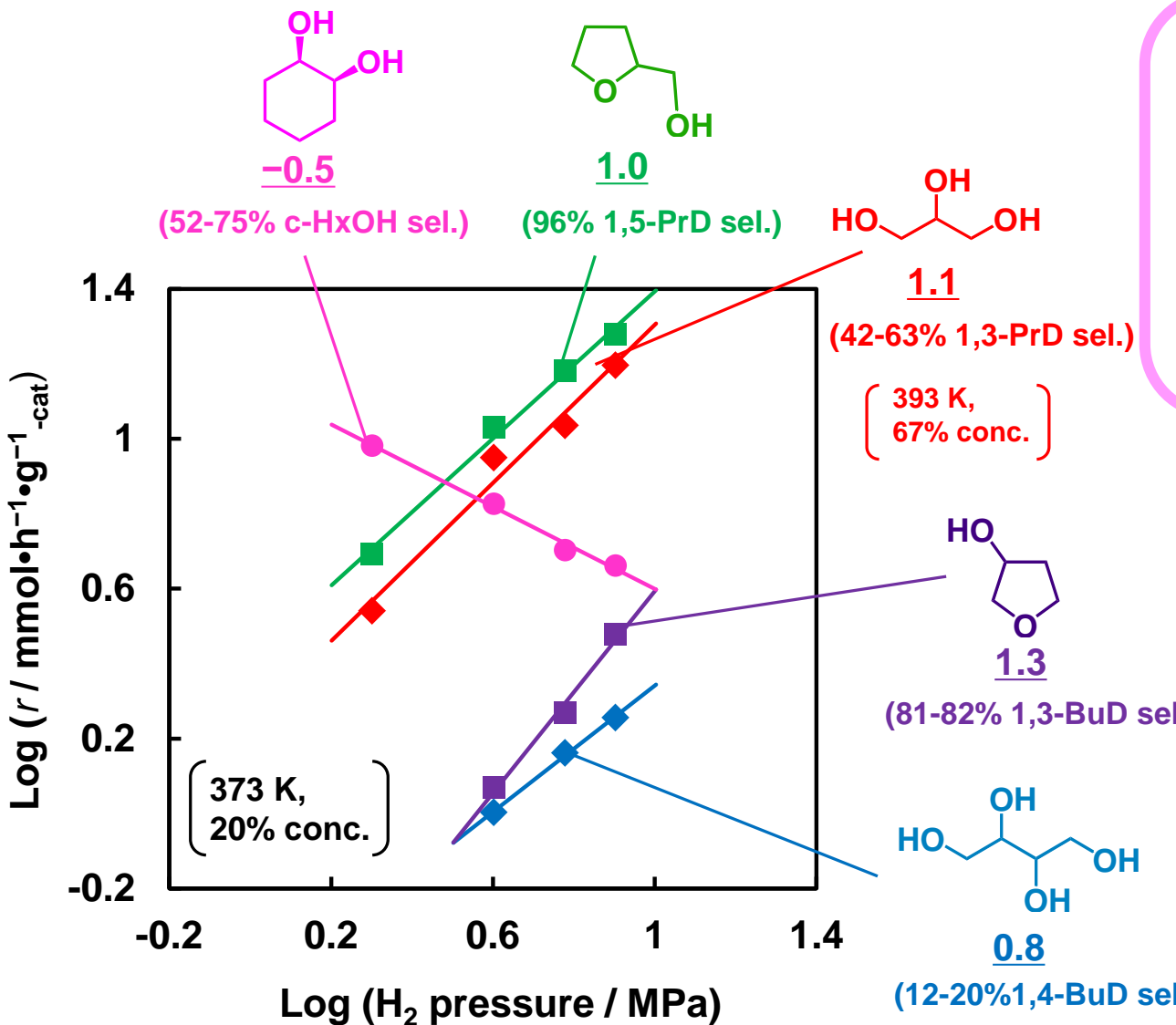
Entry	Substrate	Product	t / h	Conv. / %	Select. / %	TOF / h ⁻¹
1		HOCCCCCCOH	2	58.2	95.8	609
2		HOCCCCCCOH	8	100	82.0	-
3		HOCH(OH)CCCCC	4	40.4	87.7	186
4		HOCH(OH)CCCCC	6	23.9	81.1	96
5		HOCH(OH)CCCCC	6	35.0	76.4	122
6		HOCCCCC	4	0.0	0.0	0
7 ^a		HOCCCCCCOH	24	2.7	90.5	18
7 ^a		HOCH(OH)CCCCC	24	74.0	33.0	-
8		HOCCCCC	1	9.3	12.0	170
				64.3		

Reaction conditions: substrate 1g, H₂O 4 g, Ir-ReO_x/SiO₂ 150 (^a300) mg, 373 K, P_{H₂} = 8 MPa. ^aH₂SO₄ (H⁺/Re = 1)

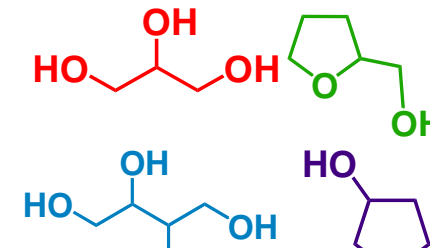
Entry	Substrate	Product	t / h	Conv. / %	Select. / %	TOF / h ⁻¹
1		HOCCCCCCOH	2	58.2	95.8	609
2		HOCCCCCCOH	8	100	82.0	-
3		HOCH(OH)CCCC	4	40.4	87.7	186
4		HOCH(OH)CCCOH	6	23.9	81.1	96
5		HOCH(OH)CCCC	6	35.0	76.4	122
6		HOCCCC	4	0.0	0.0	0
7 ^a		HOCCCC	2.7	90.5	18	Non-reactive
8		HOCCCCC	1	39.3	64.3	170

Ir-ReO_x は HO-C-C-O- 構造中の C-O 結合
水素化分解反応を触媒する。

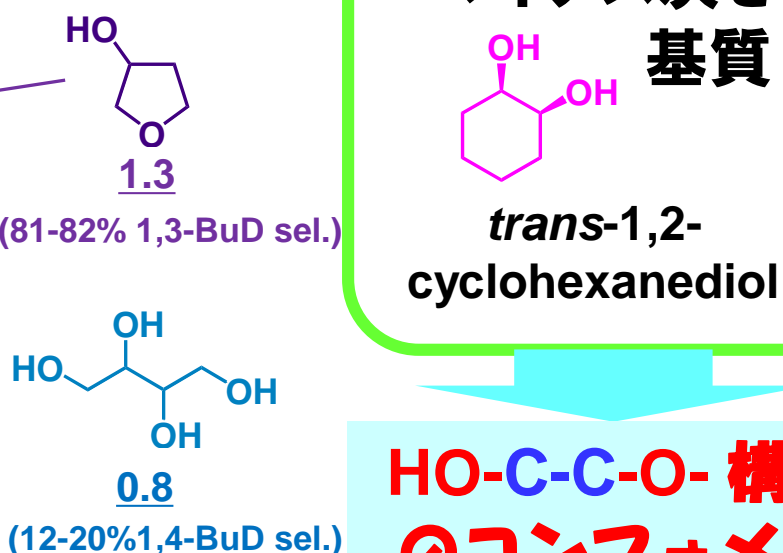
Ir-ReO_x触媒上の水素化分解反応キネティクス(水素圧依存性)



ほぼ1次を与える
基質



マイナス次を
基質



HO-C-C-O- 構造
のコンフォメー
ションに注目

基質中構造HO-C-C-O-のC-C周りのコンフォメーション

J. Catal. 294, 171 (2012)

水素に対して1次を与える基質

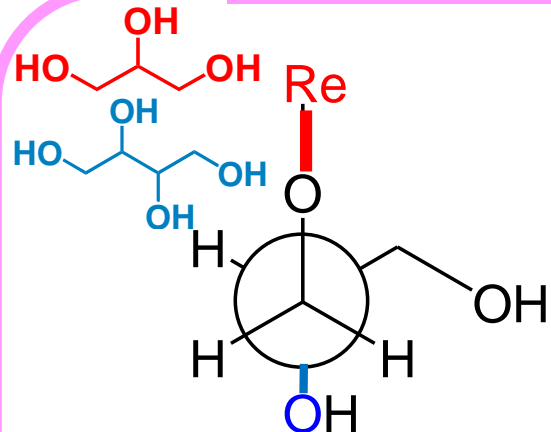
Re



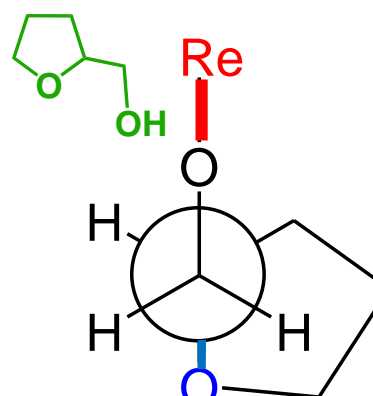
触媒との相互作用
(Reアルコキシド形成)



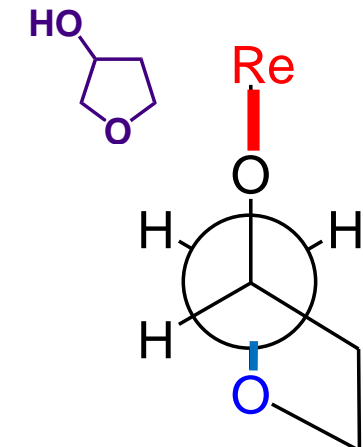
水素化分解される
C-O結合



Glycerol
Erythritol

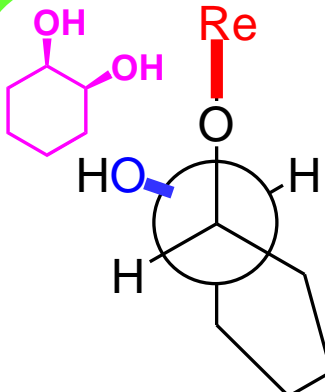


Tetrahydrofurfuryl
alcohol (THFA)



3-Hydroxytetrahydro
-furan (3-HTHF)

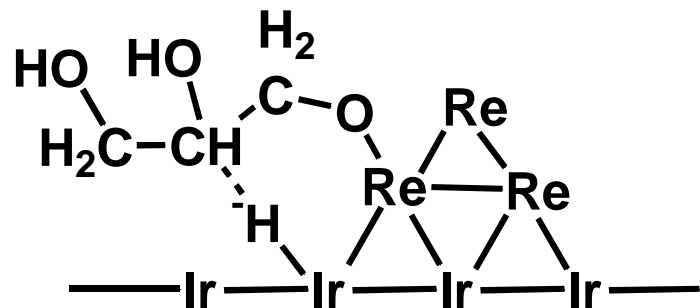
アンチのコンフォメーションが可能



trans-1,2-cyclohexanadiol

水素に対して マイナス次を 与える基質

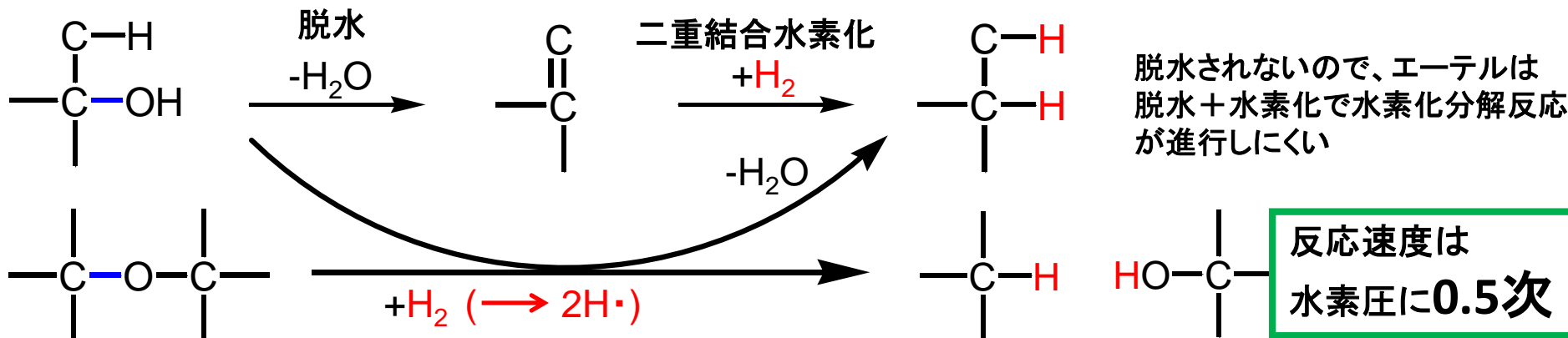
アンチのコンフォメー
ションが不可能



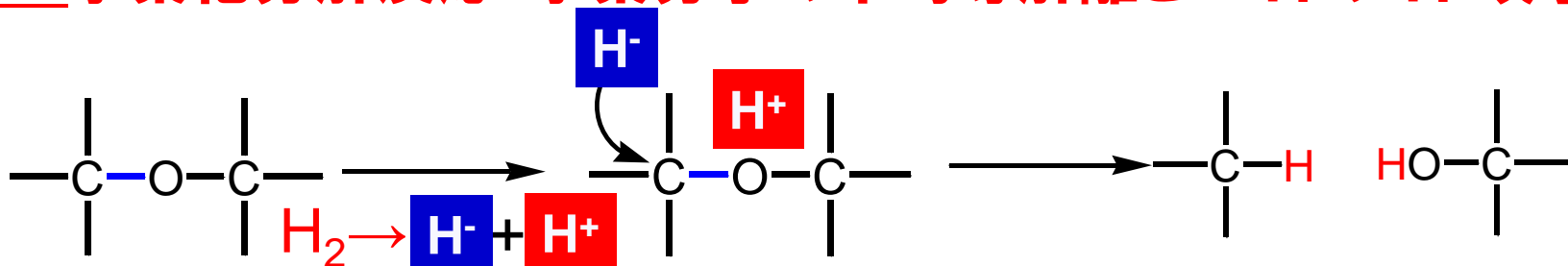
アンチ位置
 S_N2 的なハイドライド攻撃を支持

従来型水素化分解反応機構

脱水 + 二重結合水素化 (アルコール) or 水素ラジカル (エーテル or アルコール)

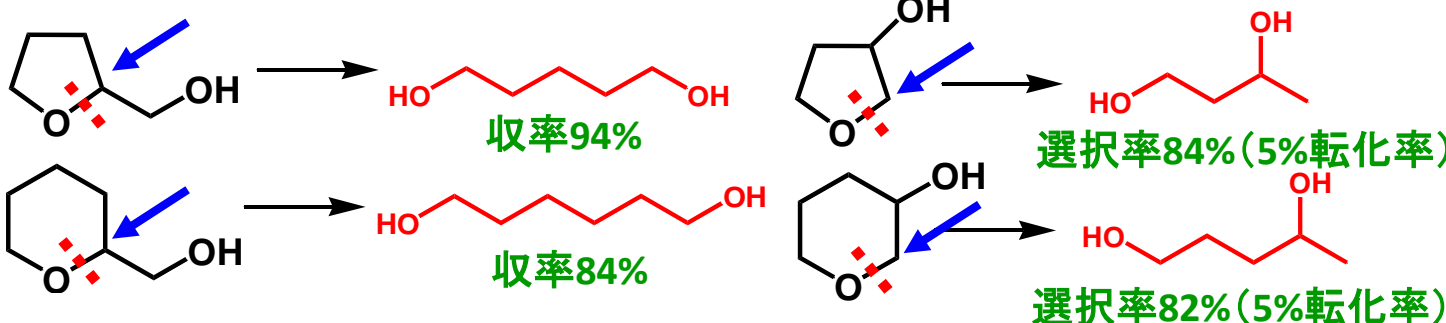


新しい水素化分解反応: 水素分子の不均等解離とハイドライド攻撃



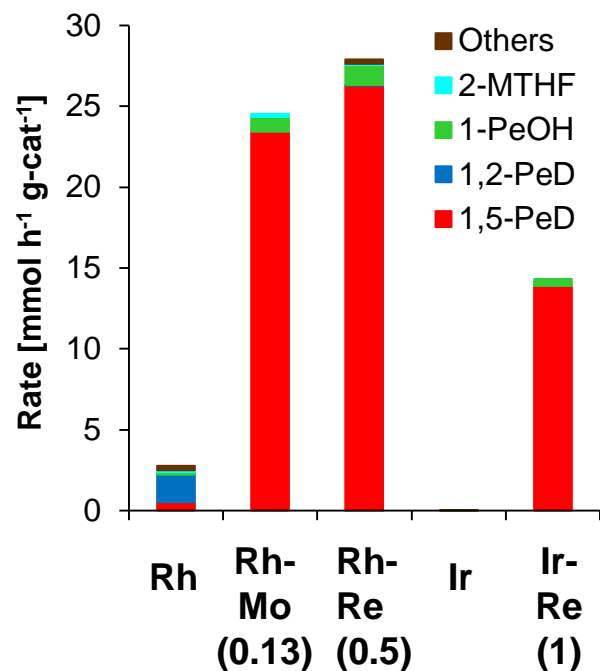
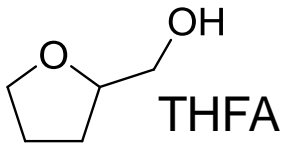
アルコール・エーテル両方に適応可能。水酸基と触媒との相互作用により
ハイドライドの攻撃位置を制限し、高選択性を実現

反応速度は水素圧に1次

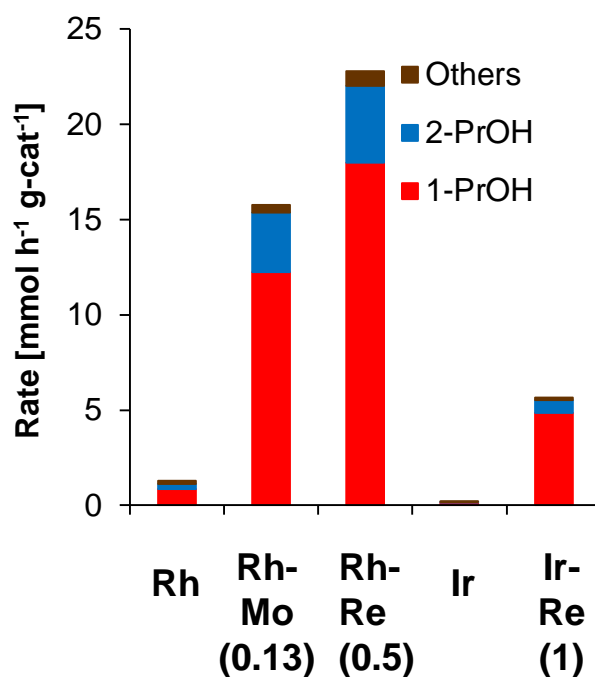
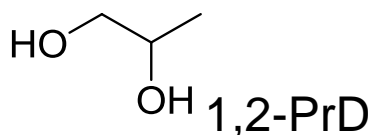


Hydrogenolysis of THFA, 1,2-PrD, and Glycerol

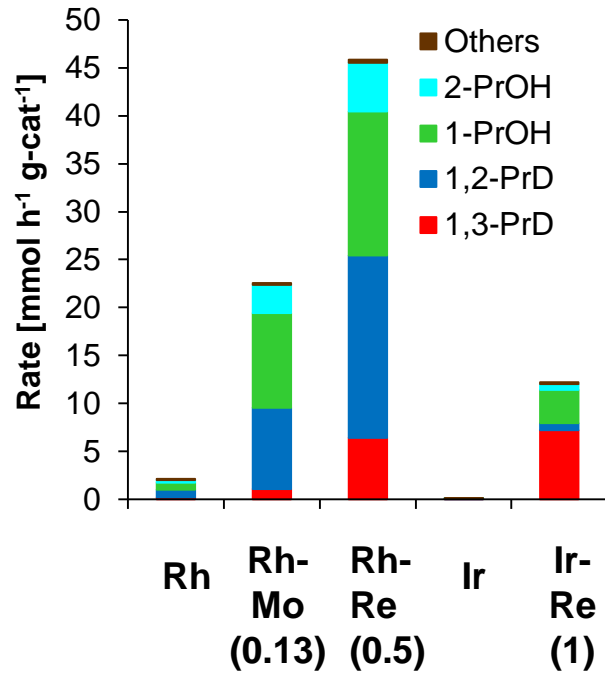
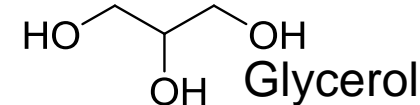
Single OH group



Double OH group



Triple OH group



Hydrogenolysis activity order using these substrates tends to be similar.

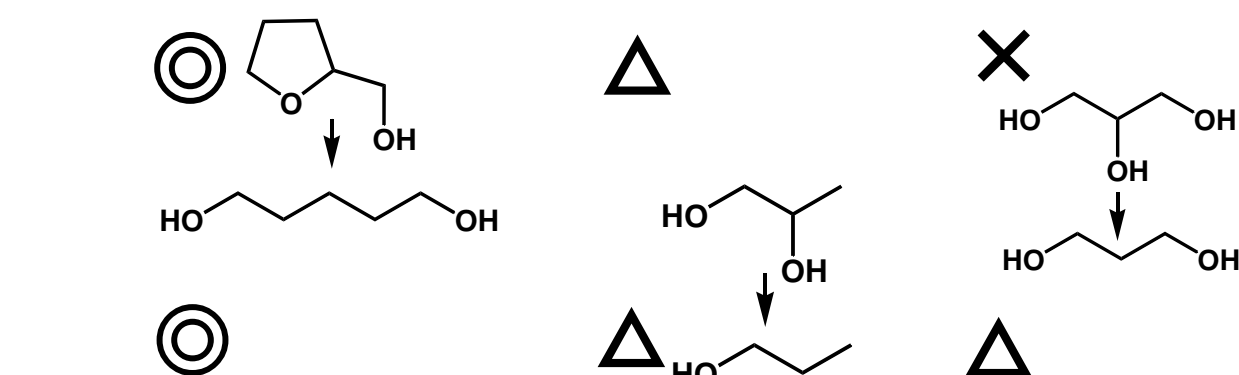
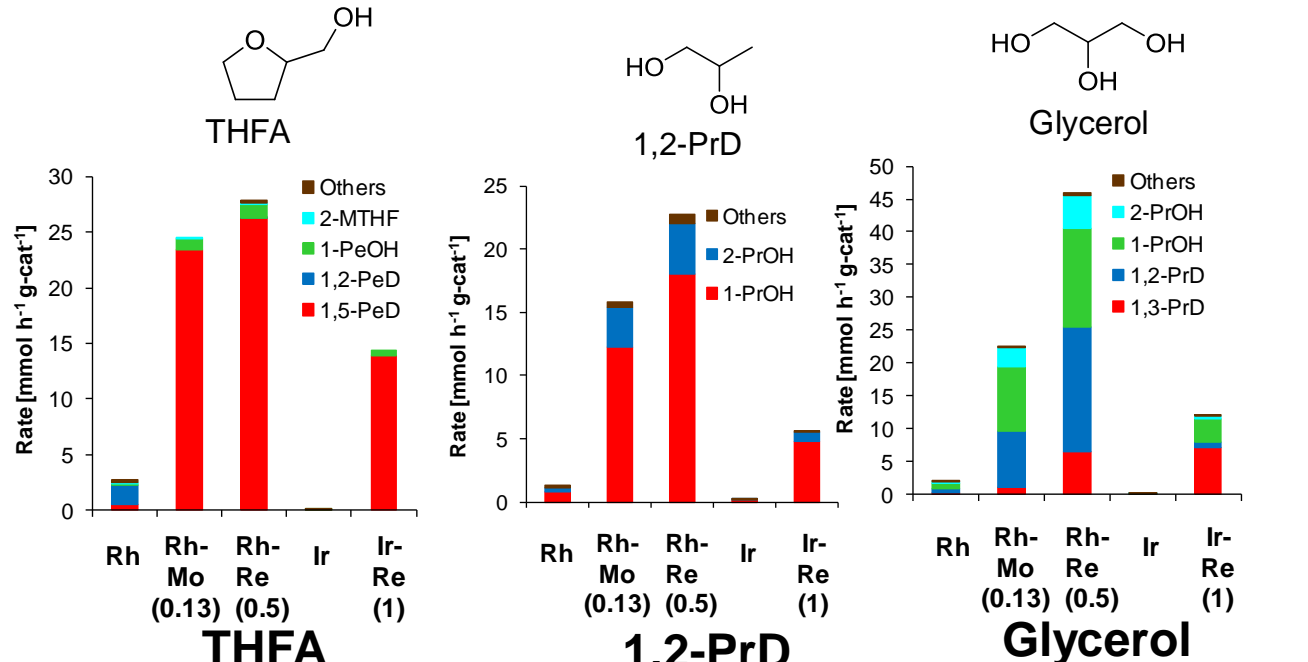
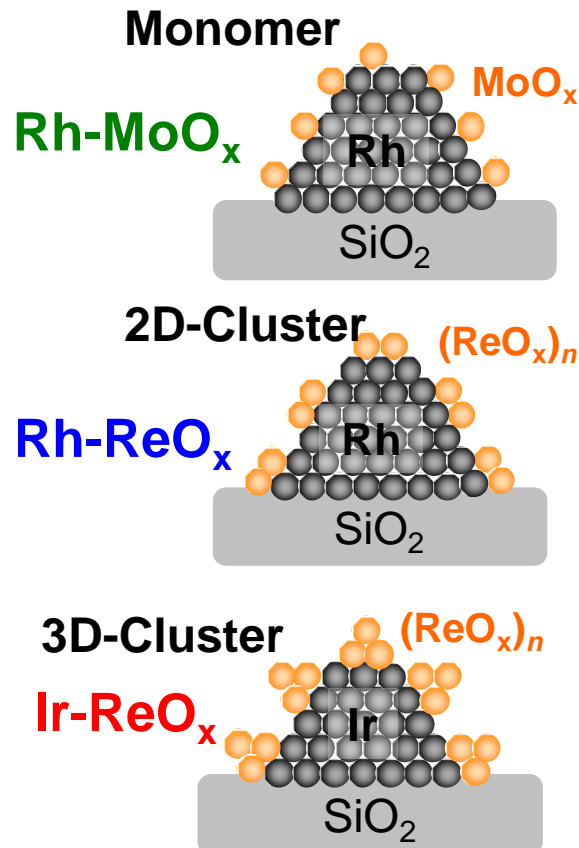
→ Rh-Re > Rh-Mo > Ir-Re

Selectivity is strongly influenced by the number of OH groups.

→ Ir-Re > Rh-Re > Rh-Mo

触媒特性と構造の関係

Chem. Commun. 2009, J. Catal. 2009
 Chem. Lett. 2009, Appl. Catal. B 2010
 ChemCatChem 2010, J. Catal. 2010
 ChemSusChem 2010, J. Catal. 2011
 Appl. Catal. B 2011,
 Appl. Catal. B 2012

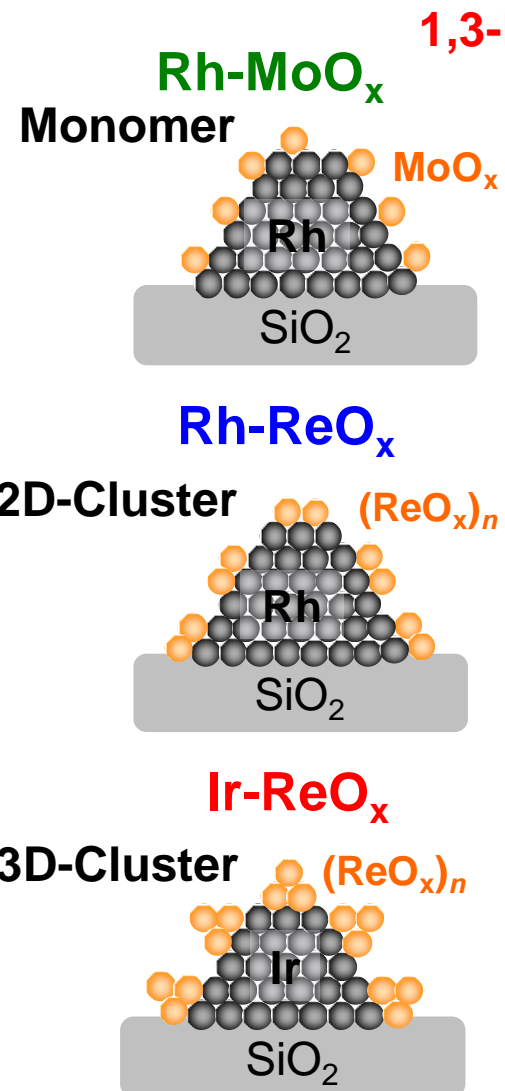
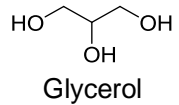


水素化分解選択率は修飾剤の構造の影響を受ける。
 monomer, 2-D or 3-D clusters

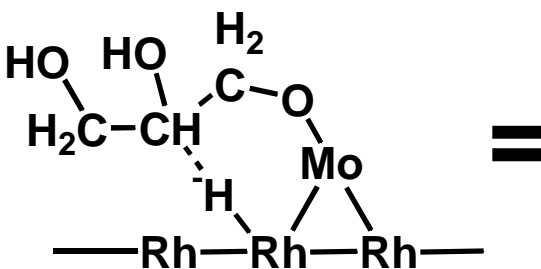
○ ○ ○

3-D cluster が高選択率に有効

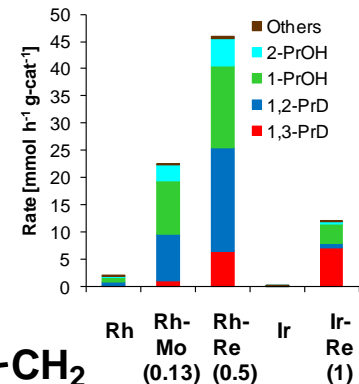
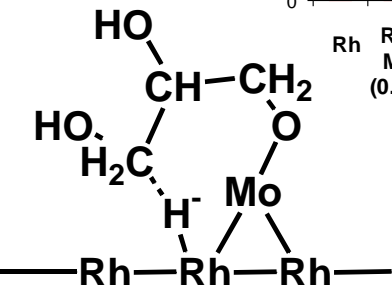
グリセリン水素化分解選択率と構造の相関の解釈 (遷移状態)



6員環
遷移状態
to 1,3-PrD



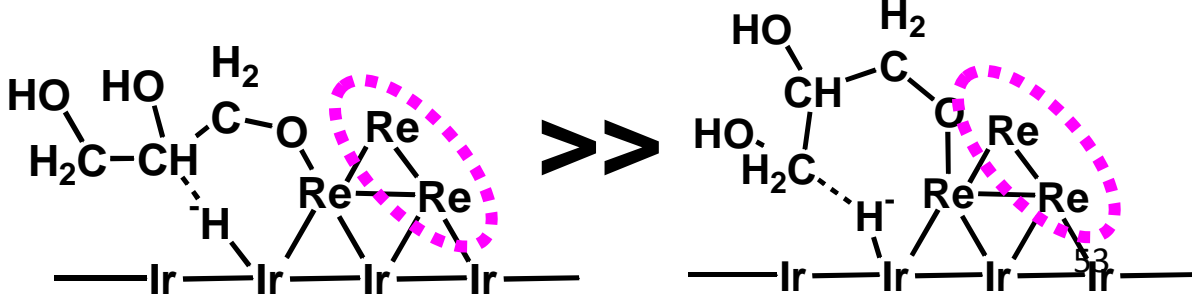
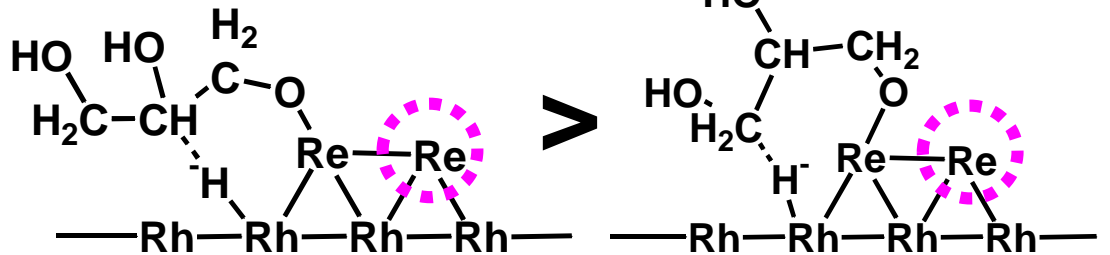
7員環
遷移状態
to 1,2-PrD



低

中

高



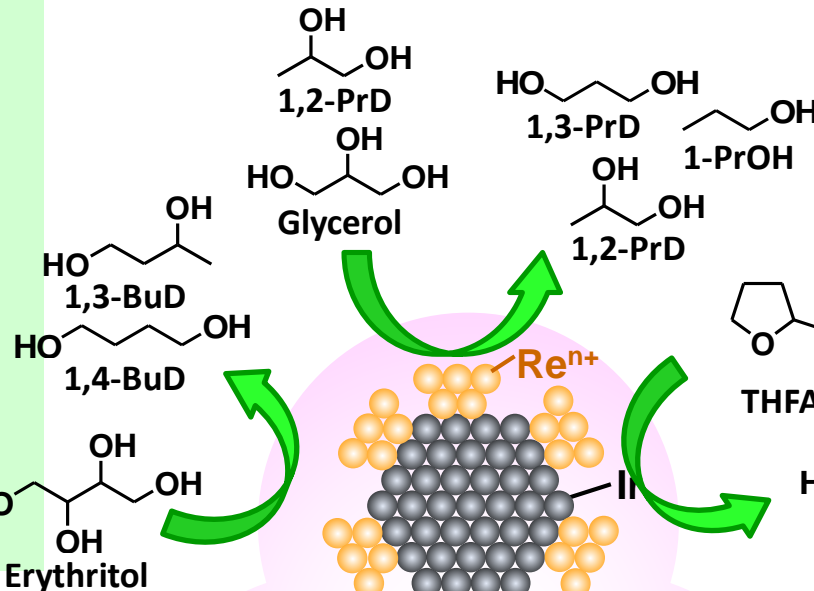
Selective hydrogenolysis

Glycerol

Chem. Lett., **2009**, 38, 540.
Appl. Catal. B, **2010**, 94, 318.
ChemSusChem, **2010**, 3, 728.
J. Catal., **2010**, 272, 191.
Appl. Catal. B, **2011**, 105, 117
Appl. Catal. A, **2012**, 433-434, 128.
J. Phys. Chem. C, **2012**, 116, 23503.
ChemSusChem, **2012**, 5, 1991.
Appl. Catal. A, **2013**, 468, 418.
J. Mol. Catal. A, **2014**, 2, 6688.

Erythritol, Anhydroerythritol

ChemSusChem **2012**, 5, 1991.
ChemSusChem **2014**, 7, 2185.
Angew. Chem. Int. Ed. **2015**, 54, 1897



Chem. Commun., **2009**, 2035.

J. Catal., **2009**, 267, 89.

ChemCatChem, **2010**, 2, 547.

J. Catal., **2011**, 280, 221.

Appl. Catal. B, **2012**, 111-112, 27.

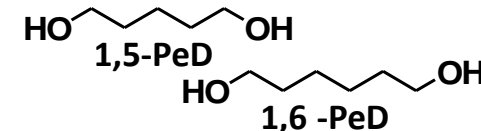
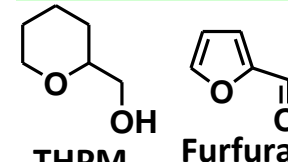
J. Catal., **2012**, 294, 171.

J. Phys. Chem. C, **2012**, 116, 3079.

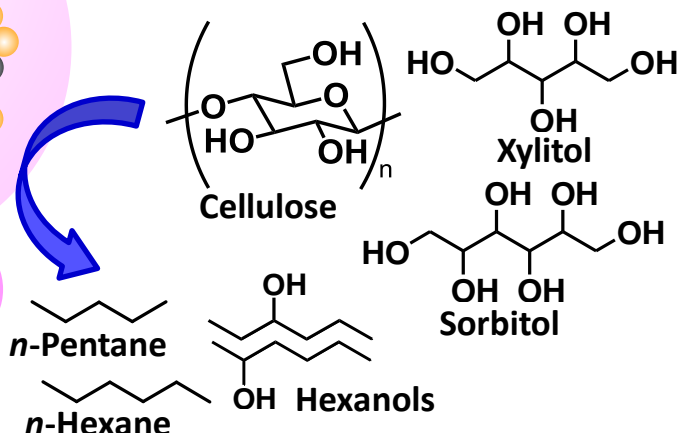
Green. Chem., **2014**, 16, 617.

Catal. Sci. Technol., **2014**, 4, 2535.

ACS Catal., **2014**, 4, 2718



Complete hydrogenolysis



$M+MO_x$ catalysts

Catal. Surv. Asia, **2011**, 15, 111.

Catal. Sci. Technol., **2011**, 1, 179.

ACS Catal., **2013**, 3, 2655.

J. Mater. Chem. A, **2014**, 4, 6688.

Top. Curr. Chem., **2014**, 353, 127.

Chem. Rec., **2014**, 14, 104.

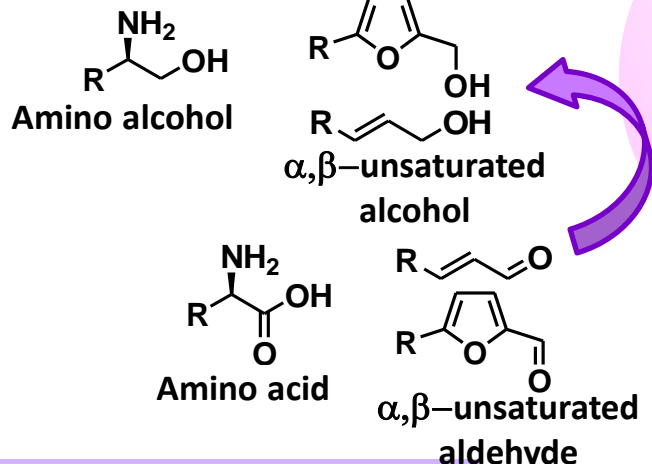
ChemSusChem, **2015**, 8, 1114

ChemSusChem **2013**, 6, 613.

ACS Sustainable Chem. Eng. **2014**, 2, 1819.

ChemSusChem, **2015**, 8, 628

Selective hydrogenation



Chem. Commun. **2014**, 50, 6656.

Chem. Commun. **2013**, 49, 7034.

Chem. Eur. J. **2015**, 21, 3097.

ChemSusChem **2015**, 8, 1170.